

İSTANBUL TEKNİK ÜNİVERSİTESİ ★ FEN BİLİMLERİ ENSTİTÜSÜ

**GERİLİM İZLEYİCİLİ AKIM FARK KUVVETLENDİRİCİSİ  
(CDBA) VE OSİLATÖR UYGULAMALARI**

**100994**

**YÜKSEK LİSANS TEZİ  
Müh. Abdulkadir PAY  
504961052**

**100994**

**Anabilim Dalı: Elektronik ve Haberleşme Mühendisliği  
Programı: Elektronik ve Haberleşme Mühendisliği**

**Tez Danışmanı: Prof.Dr. Cevdet ACAR  
Doç.Dr. M.Sait Tüsköz  
Prof.Dr. Erşihan Ersoy**

**TEMMUZ 2000**

## **İÇİNDEKİLER**

<b>KISALTMALAR</b>	<b>iv</b>
<b>TABLO LİSTESİ</b>	<b>v</b>
<b>ŞEKİL LİSTESİ</b>	<b>vi</b>
<b>SEMBOL LİSTESİ</b>	<b>vii</b>
<b>ÖZET</b>	<b>viii</b>
<b>SUMMARY</b>	<b>x</b>
<b>1. GİRİŞ</b>	<b>1</b>
<b>2. CDBA ELEMANI</b>	<b>4</b>
<b>3. TEMEL DEVRELERİN CDBA İLE GERÇEKLEŞTİRİLMESİ</b>	<b>7</b>
3.1. Gerilim Kazancı	7
3.2. Çok Girişli Toplayıcı	8
3.3. Integral Alıcı	9
3.4. Türev Alıcı	10
<b>4. CDBA İLE SRCO' LERİN DURUM DEĞİŞKENLERİ İLE GERÇEKLEŞTİRİLMESİ</b>	<b>12</b>
4.1. Karakteristik Denklem 1. Durumu	14
4.1.1 1.Seçim	16
4.1.2 2.Seçim	17
4.1.3 3.Seçim	18
4.1.4 4.Seçim	19
4.1.5 5.Seçim	20
4.1.6 6.Seçim	21
4.1.7 7.Seçim	21
4.1.8 8.Seçim	22
4.2. Karakteristik Denklem 2. Durumu	23
4.2.1 9.Seçim	24
4.2.2 10.Seçim	24
4.2.3 11.Seçim	25
4.2.4 12.Seçim	25
4.2.5 13.Seçim	26
4.2.6 14.Seçim	26
4.2.7 15.Seçim	27
4.2.8 16.Seçim	27
4.3. Karakteristik Denklem 3. Durumu	28
4.3.1 17.Seçim	28
4.3.2 18.Seçim	29
4.3.3 19.Seçim	29
4.3.4 20.Seçim	30

4.3.5 21.Seçim	31
4.3.6 22.Seçim	32
4.3.7 23.Seçim	32
4.3.8 24.Seçim	34
<b>4.4. Karakteristik Denklemin 4. Durumu</b>	<b>34</b>
4.4.1 25.Seçim	35
4.4.2 26.Seçim	35
4.4.3 27.Seçim	36
4.4.4 28.Seçim	36
4.4.5 29.Seçim	37
4.4.6 30.Seçim	37
4.4.7 31.Seçim	38
4.4.8 32.Seçim	38
<b>4.5. Karakteristik Denklemin 5. Durumu</b>	<b>38</b>
4.5.1 33.Seçim	39
<b>4.6. Karakteristik Denklemin 6. Durumu</b>	<b>40</b>
4.6.1 41.Seçim	40
4.6.2 42.Seçim	41
4.6.3 43.Seçim	42
4.6.4 44.Seçim	42
<b>5. CDBA ELEMANI İLE GERÇEKLEŞTİRİLEN DEVRELERİN ÖZELLİKLERİ VE PSPICE SIMULASYONU</b>	<b>46</b>
5.1. 1. Karakteristik denklem için frekans kararlılığı	49
5.2. 2. Karakteristik denklem için frekans kararlılığı	50
5.3. 3. Karakteristik denklem için frekans kararlılığı	50
5.4. 4. Karakteristik denklem için frekans kararlılığı	51
5.5. 4. PSPICE simulasyonu	52
<b>6. SONUÇ</b>	<b>54</b>
<b>KAYNAKLAR</b>	<b>55</b>
<b>ÖZGEÇMİŞ</b>	<b>56</b>

## **KISALTMALAR**

<b>SRCO</b>	: Single resistance controlled oscillator
<b>CDBA</b>	: Current differencing buffered amplifier
<b>CFOA</b>	: Current feedback operational amplifier
<b>DO-OTA</b>	: Dual operational transconductance amplifier
<b>FTFN</b>	: Four terminal floating nullor
<b>OTA</b>	: Operational transconductance amplifier
<b>CCII</b>	: Current conveyor second generation
<b>VCO</b>	: Voltage controlled oscillator
<b>IC</b>	: Integrated circuit
<b>op-amp</b>	: Operational amplifier

## **ŞEKİL LİSTESİ**

	<b><u>Sayfa No</u></b>
<b>Şekil 2.1</b> : CDBA elemanın sembolü.....	4
<b>Şekil 2.2</b> : CDBA elemanın eşdeğer devresi.....	5
<b>Şekil 2.3</b> : CFOA elemanı ile CDBA elemanı gerçekleştirimi.....	5
<b>Şekil 2.4</b> : CMOS teknolojisi ile tasarlanmış CDBA elemanı.....	6
<b>Şekil 2.5</b> : CBBA elemanın CMOS ile gerçekleştirilmesi.....	6
<b>Şekil 3.1</b> : Gerilim kazancı.....	7
<b>Şekil 3.2</b> : Çok girişli toplayıcı.....	8
<b>Şekil 3.3</b> : İntegral alıcı.....	9
<b>Şekil 3.4</b> : Türev alıcı.....	11
<b>Şekil 4.1</b> : Osilasyon koşulu altında karakteristik denklemin kökleri.....	13
<b>Şekil 4.2</b> : 1. seçime ait devre.....	17
<b>Şekil 4.3</b> : 2. seçime ait devre.....	18
<b>Şekil 4.4</b> : 3. seçime ait devre.....	19
<b>Şekil 4.5</b> : 4. seçime ait devre.....	20
<b>Şekil 4.6</b> : 6. seçime ait devre.....	21
<b>Şekil 4.7</b> : 7. seçime ait devre.....	22
<b>Şekil 4.8</b> : 8. seçime ait devre.....	23
<b>Şekil 4.9</b> : 19. seçime ait devre.....	30
<b>Şekil 4.10</b> : 20. seçime ait devre.....	31
<b>Şekil 4.11</b> : 23. seçime ait devre.....	33
<b>Şekil 4.12</b> : 24. seçime ait devre.....	34
<b>Şekil 4.13</b> : 42. seçime ait devre.....	42
<b>Şekil 4.14</b> : 44. seçime ait devre.....	43
<b>Şekil 5.1</b> : Geri besleme blok diyagramı.....	48
<b>Şekil 5.2</b> : $C_1=C_2=1nF$ , $R_2=7.05K$ , $R_3=7K$ değerleri için frekans değerleri....	53
<b>Şekil 5.3</b> : $C_1=C_2=1nF$ , $R_2=7.05K$ , $R_3=7K$ değerleri için frekans değerleri....	53

## **SEMBOL LİSTESİ**

<b>C</b>	: Kapasitör
<b>I</b>	: s düzlemindeki akım
<b>R</b>	: Direnç
<b>V</b>	: s düzlemindeki gerilim
<b>b</b>	: Osilasyon koşulu
$\omega_0$	: Frekans osilasyonu
$S^F$	: Frekans kararlılığı
$\omega_p$	: Kutup frekansı
$Q_p$	: Kutup kalite faktörü

# **GERİLİM İZLEYİCİLİ AKIM FARK KUVVETLENDİRİCİSİ (CDBA) VE OSİLATÖR UYGULAMALARI**

## **ÖZET**

Bu tezin amacı, son zamanlarda tanıtılan CDBA (gerilim izlemeli akım fark kuvvetlendirici) elemanı ile temsil edilen yeni bir aktif eleman kullanarak, durum denklemleri vasıtasyyla SRCO (tek dirençli kontrol edilen osilatör) devrelerinin sunulmasıdır. Bu osilatörler, osilasyon şartı  $b$ , osilasyon frekansı  $\omega_0'$  dan bağımsız ve eleman sayısının az olması sınırlamaları altında tasarlanmıştır. Tek direnç ile ayarlanabilen osilasyon frekansında, direncin bir ucu CDBA elemanın  $p$  veya  $n$  uçlarına, dolayısıyla CDBA elemanın tanımı gereğince 0 potansiyele sahiptir. Bu özellik tüm devre gerçekleştirmeye ve gerilim kontrollü osilatörün gerçekleştirilmesi için çok elverişli şartlardır.

Tek direnç kontrollü osilatörler gerçekleştirildiğinde farklı karakteristik denklemler bulunarak, bu denkemlere ait düğüm eşitlikleri yazılmış ve buradan fiziksel osilatör devreleri gerçekleştirılmıştır. Bunlardan uygun olanlar önerilmiştir.

Daha önce sunulmuş olan CDBA ile SRCO tasarımından farklı olarak durum değişkenleri yöntemi yaklaşımı kullanılmıştır. Bu yöntem sayesinde herhangi özel bir topolojiye bağlı kalmadan sistematik bir şekilde karakteristik denklemden yola çıkarak devre tasarımları gerçekleştirilmişdir. Sonuç olarak durum değişkenleri yaklaşımı ile CDBA tabanlı SRCO'ların devre tasarımlını gerçekleştirmenin mümkün olduğu gösterilmiştir.

Birinci bölümde, konunun tarihi gelişimi ile ilgili giriş yapılmış kısa bilgi aktarılmıştır.

İkinci bölümde, topraklanmış dört-kapılı eleman olarak CDBA tanıtılmış, bununla ilgili karakteristikleri, eşdeğer devresi, AD844' ü kullanarak CDBA gerçekleştirilmesi anlatılmıştır.

Üçüncü bölümde, CDBA temelli kuvvetlendiriciler, integral ve türev alıcı devreler gerçekleştirilmiştir.

Dördüncü bölümde, karakteristik denklemlerden yola çıkarak nasıl osilatör gerçekleştirileceği anlatılmış, bu devrelere karşı düşen fiziksel devreler çizilmiş, osilasyon şartları ve osilasyon frekansları verilmiştir.

Beşinci bölümde, CDBA elemanın özelliklerini osilatör açısından incelenmiş, CDBA elemanın idealsızlığı halindeki davranışını incelenmiş, bunlarla ilgili tablolar verilmiş ve frekans kararlılığı incelenmiştir. Ayrıca PSPICE programı ile simülasyon da gerçekleştirilmiştir.

## **CURRENT DIFFERENCING BUFFER AMPLIFIER (CDBA) AND OSCILLATOR IMPLEMENTATIONS**

### **SUMMARY**

In this thesis, it is intended to design and implement new SRCO, single resistance circuit oscillator, topologies using active elements. For this purpose recently introduced CDBA, current differencing buffered amplifier, is chosen as active element.

For these topologies followings are aimed to achieve:

1. Orthogonal control of oscillation of condition b,
2. Orthogonal control of oscillation frequency  $\omega_0$ ,
3. Using few numbers of elements.

Oscillator frequency is adjusted by means of a single resistor whose one end is connected to p or n end of CDBA. This leads resistance to be grounded which is an important feature in circuit implementation. These are advantages for realization of voltage-controlled oscillators, VCO.

Following steps has been taken during the design and implementation stages of SRCO:

1. Various characteristics equations have been suggested.
2. All possible node equations introduced for each characteristic equation.
3. Physical oscillator circuits have been designed for each node equations.
4. Suitable circuits that satisfy previously defined conditions have been chosen for implementation.

A new approach is taken into consideration in this work that is using state variables for designing SRCO with CDBA. This approach provides designing circuits systematically starting from characteristics equations without considering any special topology.

As a conclusion, CDBA based SRCO has been successfully designed by considering a new methodology.

In the first chapter, brief historical background in the area is given.

In chapter two, CDBA is described as a grounded four-ports element. Furthermore, implementation of CDBA using AD844, its characteristics end equivalence circuit is introduced.

CDBA based amplifiers, integral and differential circuits implemented in chapter three.

Fourth chapter describes how to design oscillator starting from characteristics equations. For these oscillators physical circuits are introduced and their oscillation conditions and frequencies are also defined.

In the last chapter, CDBA is considered from the oscillator point of view. Its conduct in the case of non-ideal is investigated and results are figured out. Frequency stability of CDBA is also covered in the chapter.

## 1. GİRİŞ

Elektronik mühendisliğinde aktif filtreler ve osilatörler gibi devrelerin gerçekleştirilmesi için devre tasarımları ve topoloji oluşturma önemli araştırma alanıdır. Son yirmi yılda, işlemesel kuvvetlendiriciler üstün bir rol oynamıştır. Literatürde çok sayıda değişik devreler bulunmaktadır [1].

Son onyılda, özellikle son zamanlarda, yeni aktif yapı blokları evirmeyen ve eviren ikinci kuşak akım taşıyıcıları (CCII+ ve CCII-), akım geri beslemeli işlemesel kuvvetlendiriciler (CFOA) dinamik aralığa ve daha geniş band genişliğine sahip olmaları sayesinde önemli bir ilgi almışlardır [1].

Sinüsoidal osilatörler ölçme, haberleşme, kontrol sistemleri ve işaret işleme uygulamalarında oldukça geniş bir kullanıma sahiptirler. Bu uygulamaların çoğu osilatör devrelerine, ihtiyaç duyarlar. Bu devrelerdeki aktif ve pasif elemanların değerleri osilatör parametrelerini (genlik,frekans,faz) oluşturur [1,2,3]. OTA, CCII, DO-OTA ve FTFN gibi farklı yapılar kullanarak oluşturulan sinusoidal osilatörler son yıllarda büyük ilgi görmüştür. Çünkü işlemesel kuvvetlendiriciler ile oluşturulan osilatörlere göre, çok sayıda avantajlar sağlamakla beraber, CMOS teknolojisi ile VLSI tasarımindan, tam entegre edilebilir osilatör devreleri gerçekleştirmeye de uygundurlar. Yeni araştırmalarda, iki eleman ile frekans kontrolünün getirdiği izleme probleminden kaçınmak için dikkatler tek elemanlı frekans kontrolü üzerine yoğunlaşmıştır [1].

[4]' de sunulan CDBA olarak isimlendirilen yeni bir aktif blok, devre sentezinde ve gerçekleştirmede kolaylıklar sağlamaktadır [1,4].

CDBA elemanı, CMOS ve bipolar ile tek parça yapılmaya elverişlidir. Ayrıca gerilim modunda çalıştığı gibi akım modunda da çalışmaktadır. Son olarak, akım farkı alma özelliği tasarımda esneklik sağlamaktadır [1].

CDBA elemanın bu avantajları göz önüne alınarak, osilasyon koşulu b, osilasyon frekansı  $\omega_0$ ' ı etkilemeden ve minimum sayıda eleman kullanarak (2 kapasiteli 3 dirençli ve 2 CDBA elemanlı) durum denklemleri metodu ile SRCO devrelerinin gerçekleştirılmıştır. Osilasyon koşulundan bağımsız olmak şartı ile frekans kontrolü tek bir direnç ile sağlanan osilatörlerle tek direnç kontrollü osilatör (single resistance controlled oscillator) denir. SRCO ile temsil edilir.



- CDBA elemanı ticari olarak bulunan AD844' deki CFA elemanından elde edilmiştir [4]. CFOA elemanı daha geniş band genişliğine sahip olması, daha yüksek yükselme eğilimine sahip olması ile tercih edilir. CDBA elemanı CFA elemanından elde edilmesi ile hem bu özelliklere sahip, hem de iki girişinin topraklı olması ve aktif eleman kullanımına izin vermesi özellikleri ile tercih edilen bir elemandır [5].

Gerçekleştirilen osilatörlerin, osilasyon frekansının kontrolü tek direnç ile sağlanmaktadır. Elemanların 0 potansiyele sahiptir ki bu özellik IC (entegre devre) uygulamalarında tercih edilmektedir. Topraklanmış çıkışa sahiptir. İyi bir frekans kararlılığına sahiptir. Ayrıca şuda söylenebilir ki, osilasyon frekansını etkileyen bir ucu topraklı direnç, kolay bir biçimde FET kullanarak gerilim kontrollü direnç biçimine dönüştürülür. Bu özellik sayesinde gerilim kontrollü osilatör (VCO) elde edilmiş olur. CDBA elemanın çıkış gerilimi tamponlanmış olduğundan dolayı, düşük bir empedans değerine sahiptir [1].

İkinci bölümde, topraklanmış dört-kapılı eleman olarak CDBA tanıtılmış, bununla ilgili karakteristik, eşdeğer devre ve AD844' ü kullanarak CDBA gerçekleştirilmesi anlatılmıştır.

Üçüncü bölümde, CDBA temelli kuvvetlendiriciler, integral ve türev alıcı devreler gerçekleştirılmıştır.

Dördüncü bölümde, karakteristik denklemlerden yola çıkarak nasıl osilatör gerçekleştirileceği anlatılmış, bu devrelere karşı düşen fiziksel devreler çizilmiş, osilasyon şartları ve osilasyon frekansları verilmiştir.

Beşinci bölümde, CDBA elemanın özellikleri osilatör açısından, CDBA elemanın idealsizliği halindeki davranışını incelenerek bunlarla ilgili tablolar

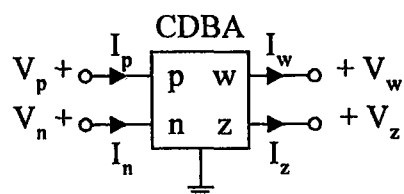
verilmiş ve frekans kararlılığı incelenmiştir. PSPICE programı ile simulasyon yapılmıştır.

## 2. CDBA ELEMANI

Bu bölümde, yeni bir aktif eleman olan CDBA (gerilim izleyicili akım fark kuvvetlendiricisi) açıklanmıştır. [4]' de sunulan CDBA olarak isimlendirilen yeni bir aktif blok, devre sentezinde ve gerçeleştirmede kolaylıklar sağlamaktadır [1]. CDBA elemanı, CMOS ve bipolar ile tek parça yapılmaya elverişlidir. Ayrıca gerilim modunda çalıştığı gibi akım modunda da çalışmaktadır. Son olarak, akım farkı alma özelliği tasarımda esneklik sağlamaktadır [1].

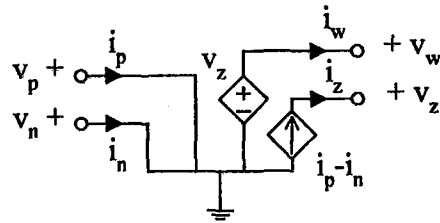
CDBA' nın pratikte gerçekleşimi ticari olarak elde edilebilir olan CFOA (akım geribeslemeli işlemsel kuvvetlendiricisi) elemanı iledir [4]. CFOA elemanı, yüksek bir band genişliğine sahip olması, daha yüksek yükselme eğilimine sahip olması ile osilatör ve filtre uygulamalarında tercih edilir [5]. CDBA elemanı CFOA elemanından elde edilmesi ile hem bu özelliklere sahip ve hem de iki girişinin topraklı olması, aktif eleman kullanımına izin vermesi özellikleri ile tercih edilen bir elemandır [4].

Yeni bir aktif eleman olan CDBA' nın devre simbolü, Şekil 2.1' de gösterilmiştir. p ve n giriş terminaleri, w ve z çıkış terminaleridir [4].  $v_{p,p}$  terminalinin gerilimi,  $v_{n,n}$  terminalinin gerilimi,  $v_{w,w}$  terminalinin gerilimi,  $v_{z,z}$  terminalinin gerilimi,  $i_{p,p}$  terminalinin giriş akımı,  $i_{n,n}$  terminalinin giriş akımı,  $i_{w,w}$  terminalinin çıkış akımı,  $i_{z,z}$  terminalinin çıkış akımıdır.



Şekil 2.1 CDBA elemanın sembolü

Bu elemanın eşdeğer devresi Şekil 2.2' deki gibi, bağımlı akım ve gerilim kaynakları ile gerçekleştirilebilir [4].

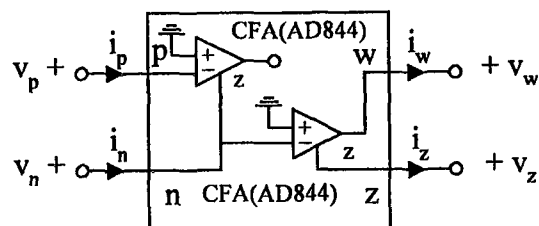


Şekil 2.2 CDBA elemanının eşdeğer devresi

Karakteristik modelin s düzlemindeki ifadesi aşağıdaki gibidir [4]:

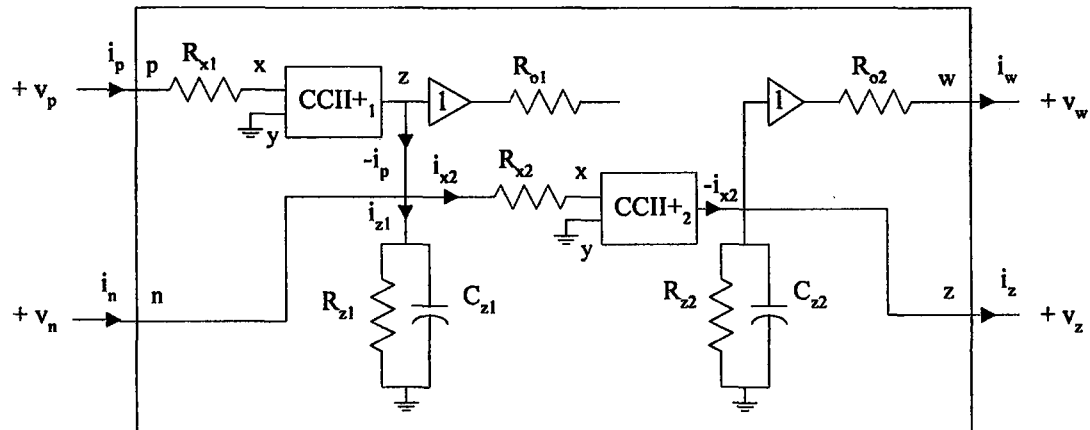
$$\begin{bmatrix} i_z \\ v_w \\ v_p \\ v_n \end{bmatrix} = \begin{bmatrix} 0 & 0 & 1 & -1 \\ 1 & 0 & 0 & 0 \\ 0 & 0 & 0 & 0 \\ 0 & 0 & 0 & 0 \end{bmatrix} \cdot \begin{bmatrix} v_z \\ i_w \\ i_p \\ i_n \end{bmatrix} \quad (2.1)$$

Şekil 2.2' den giriş uçlarının içерiden topraklanmış oldukları görülmektedir. Şekil 2.2 ve yukarıdaki (2.1) eşitliğine göre z-terminalinden akan  $i_z$  akımı, p terminalinden akan  $i_p$  akımı ile n terminalinden akan  $i_n$  akımının farkıdır. Bundan dolayı z terminali akım çıkışı olarak adlandırılır. p terminalini pozitif giriş, n terminalini negatif giriş olarak da adlandırabiliriz. Ayrıca, w terminalinin gerilimi z terminalinin gerilimini izler. Bu yüzden w terminali çıkış gerilimi olarak adlandırılır. Son olarak p ve n giriş terminalleri topraklıdır. CDBA elamanı ticari olarak elde edilebilir olan CFOA elamanı ile gerçekleştirimi (AD844 ile isimlendirilir.) Şekil 2.3' de verilmiştir [4].

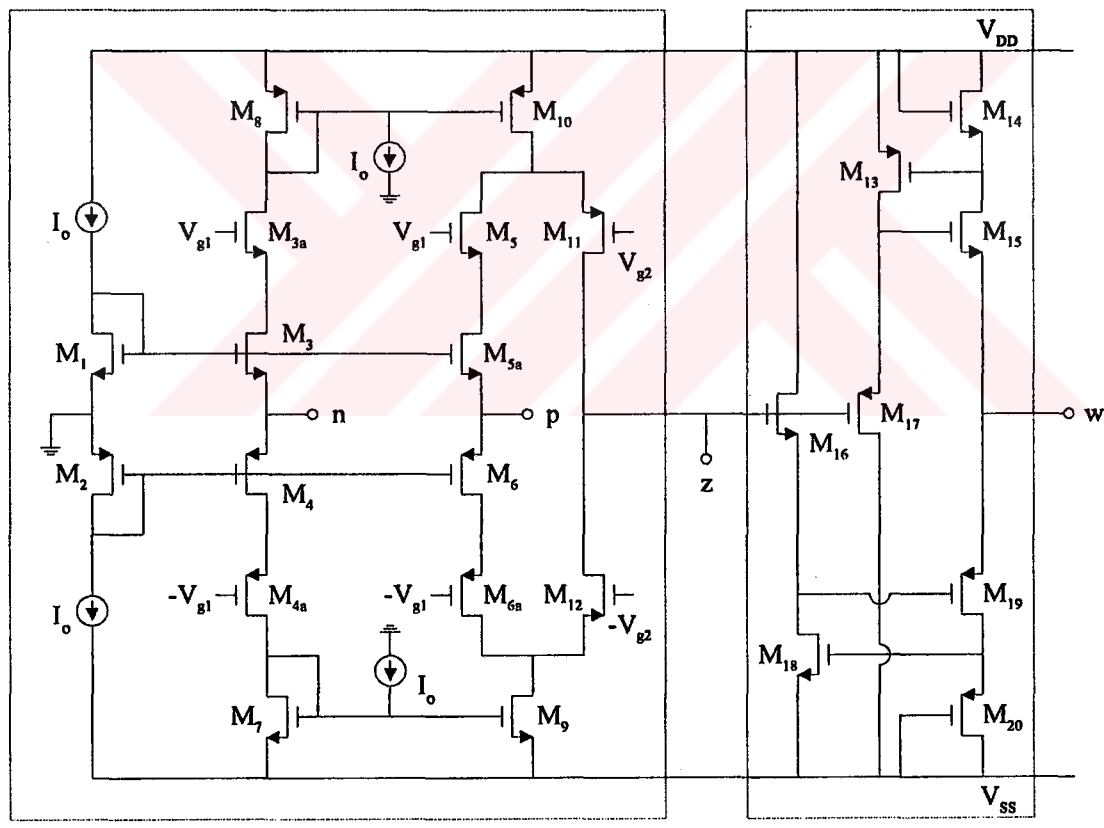


Şekil 2.3 CFOA elamanı ile CDBA elamanı gerçekleştirimi

Şekil 2.4' de AD844 kullanılarak tasarlanmış CBBA elemanı, Şekil 2.5' de CDBA elemanın CMOS ile gerçekleştirilmesi gösterilmiştir [1].



Şekil 2.4 AD844 kullanılarak tasarlanmış CBBA elemanı



Akım fark kuvvetlendirici

Gerilim Izleyici

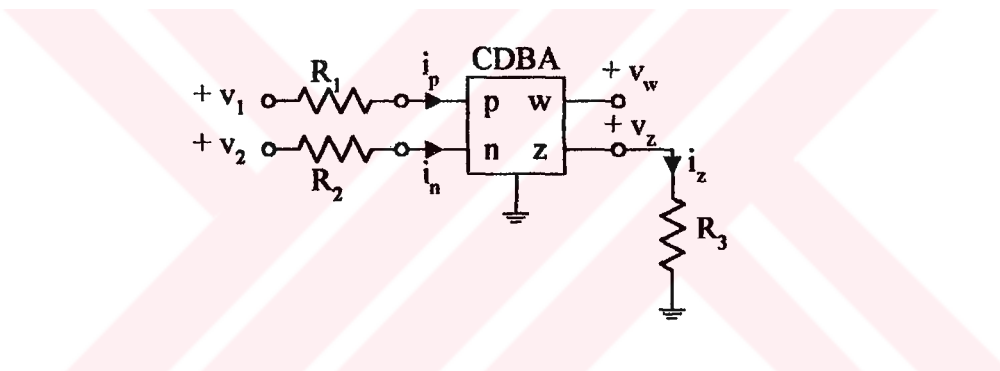
Şekil 2.5 CBBA elemanın CMOS ile gerçekleştirilmesi

### 3. TEMEL DEVRELERİN CDBA ELEMANI İLE GERÇEKLEŞTİRİLMESİ

Temel devrelerin gerçekleştirilmesi, bize osilatör devrelerini gerçekleştirirken büyük kolaylık sağlayacaktır. Bu bölümde bu devrelerden, gerilim kazancı, çok girişli toplayıcı, integral alıcı ve türev alıcı incelenmiştir [4].

#### 3.1 Gerilim Kazancı

CDBA elemanı kullanarak gerilim kazancı Şekil 3.1' de gösterilmiştir. Bu devrede üç direnç ve bir CDBA elemanı kullanılmıştır.



Şekil 3.1 Gerilim kazancı

Bu devreden şu eşitlikleri çıkarabiliriz:

$$v_z = i_z \cdot R_3 \quad (3.1)$$

$$v_w = v_z = (i_p - i_n) \cdot R_3 \quad (3.2)$$

$$i_p = \frac{v_1}{R_1} \quad (3.3)$$

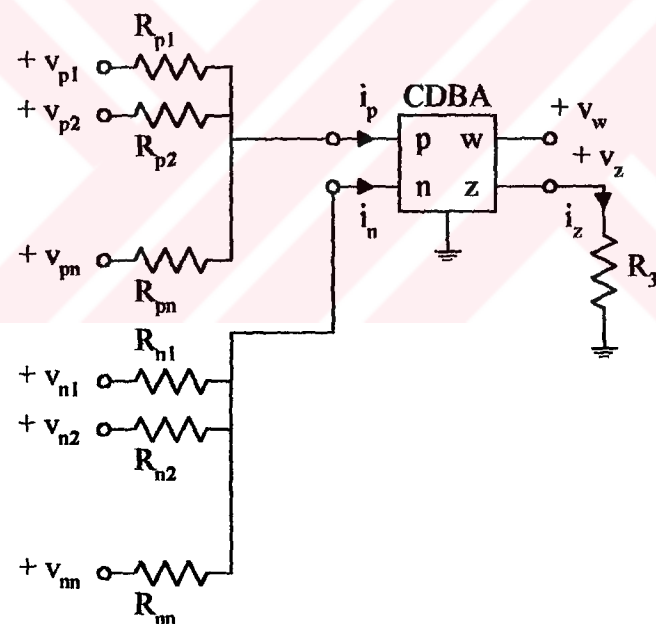
$$i_n = \frac{v_2}{R_2} \quad (3.4)$$

(3.3) ve (3.4) eşitliklerini (3.2)' de yerine koyarsak yeni eşitliği aşağıdaki gibi elde ederiz:

$$v_z = v_w = \frac{R_3}{R_1} \cdot v_1 - \frac{R_3}{R_2} \cdot v_2 \quad (3.5)$$

### 3.2 Çok Girişli Toplayıcı

CDBA elemanının p ve n terminallerini çok girişli kullanarak çok girişli toplayıcı devresini elde edebiliriz. Şekil 3.2' de bunun gerçekleştirimi ile ilgili devre gösterilmiştir.



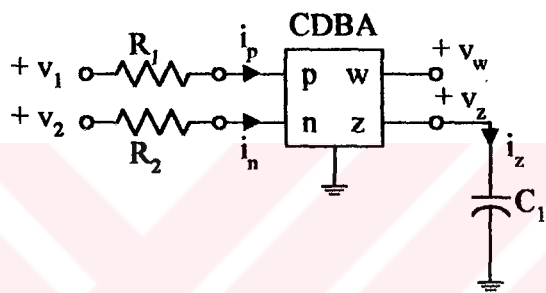
Şekil 3.2 Çok Girişli Toplayıcı

Bu devreden şu eşitliği yazabiliriz:

$$v_Z = v_w = \left( v_{p1} \cdot \frac{R_3}{R_{p1}} + v_{p2} \cdot \frac{R_3}{R_{p2}} + \dots + v_{pn} \cdot \frac{R_3}{R_{pn}} \right) - \left( v_{n1} \cdot \frac{R_3}{R_{n1}} + v_{n2} \cdot \frac{R_3}{R_{n2}} + \dots + v_{nm} \cdot \frac{R_3}{R_{nm}} \right) \quad (3.6)$$

### 3.3 İntegral alıcı

CDBA kullanarak integral alıcı Şekil 3.3' de gösterilmiştir. Bu devrede iki direnç, bir kapasitör ve bir CDBA kullanılmıştır.



Şekil 3.3 İntegral alıcı

Integral alıcı devresi durum değişkenleri denklemleri ile osilatör tasarlarken çok önemli rol oynamaktadır. Şekil 3.3' deki devreden s düzleminde şu eşitlikleri çıkarabiliriz:

$$V_z = I_z \cdot \frac{1}{sC_1} \quad (3.7)$$

$$V_w = V_z = (I_p - I_n) \cdot \frac{1}{sC_1} \quad (3.8)$$

$$I_p = \frac{V_1}{R_1} \quad (3.9)$$

$$I_a = \frac{V_2}{R_2} \quad (3.10)$$

(3.9) ve (3.10) eşitliklerini (3.8)' de yerine koyarsak yeni eşitliği aşağıdaki gibi elde ederiz:

$$V_z = V_w = \frac{1}{s \cdot C_1 \cdot R_1} \cdot V_1 - \frac{1}{s \cdot C_1 \cdot R_2} \cdot V_2 \quad (3.11)$$

$$V_z = \frac{1}{s \cdot C_1} \cdot \left( \frac{V_1}{R_1} - \frac{V_2}{R_2} \right) \quad (3.12)$$

(3.12) eşitliğini t düzleminde yazarsak:

$$C_1 \cdot \frac{dv_z}{dt} = \frac{v_1}{R_1} - \frac{v_2}{R_2} \quad (3.13)$$

### 3.4 Türev Alıcı

Şekil 3.4' de CDBA kullanarak türev alıcı uygulaması gösterilmiştir. Bu devrede iki kondansatör, bir direnç ve bir CDBA kullanılmıştır.

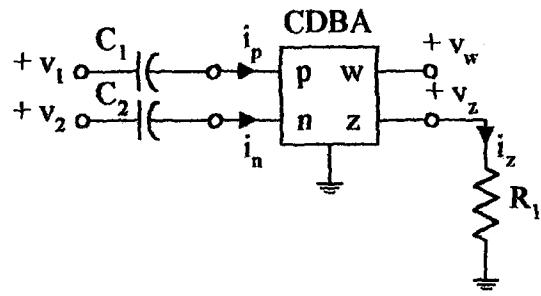
Şekil 3.4' deki devreden s düzlemi için şu eşitlikleri çıkarabiliriz:

$$V_z = I_z \cdot R_1 \quad (3.14)$$

$$V_w = V_z = (I_p - I_a) \cdot R_1 \quad (3.15)$$

$$I_p = V_1 \cdot s \cdot C_1 \quad (3.16)$$

$$I_a = V_2 \cdot s \cdot C_2 \quad (3.17)$$



Şekil 3.4 Türev alıcı

(3.16) ve (3.17) eşitliklerini (3.15)' de yerine koyarsak yeni eşitliği aşağıdaki gibi elde ederiz:

$$V_z = V_w = V_1 \cdot s \cdot C_1 \cdot R_1 - V_2 \cdot s \cdot C_2 \cdot R_1 \quad (3.18)$$

#### **4. CDBA İLE SRCO' LERİN DURUM DEĞİŞKENLERİ İLE GERÇEKLEŞTİRİLMESİ**

Daha önce gerçekleştirilen CDBA temelli osilatör devreleri [1] elde edilirken CDBA elemanı ve pasif elemanlar içeren bir osilatör devresi sürürlür, daha sonra bu devrenin analizi yapılarak osilasyon koşulu için gerekli şartlar bulunur, bu şartların ve devrelerin analiziyle elde edilen frekans denkleminin, bilgisayar simülasyonları ve pratik devrelerle elde edilen sonuçlarla çelişmediği gösterilerek öne sürülen devrenin bir osilatör olarak kullanabileceği desteklenirdi [6]. Bu tezdeki CDBA temelli osilatörler, daha önce gerçekleştirilen [1] osilatörlerden farklı olarak bir sentez yönteminin kullanılmasıdır. Bu yöntem [7]'de CFA üzerinde uygulanmıştır. Bu çalışmada [7]'deki yöntemden yola çıkarak CDBA temelli osilatör devreleri gerçekleştirılmıştır.

En genel halde bir devrenin durum denklemleri aşağıda verilen biçimdedir.

$$\begin{aligned}\frac{dx}{dt} &= A \cdot x + B \cdot e \\ y &= C \cdot x + D \cdot e\end{aligned}\tag{4.1}$$

Bu tezde ikinci dereceden tek dirençle kontrol edilebilen osilatör devreleri incelenecaktır. Bu yüzden giriş işaretimiz ( $e = 0$ )'dır. A matrisimiz  $2 \times 2$  boyutludur. Bu şartlar altında aşağıdaki durum eşitliği ile karakterize edilir.

$$\frac{d}{dt} \cdot \begin{bmatrix} x_1 \\ x_2 \end{bmatrix} = \begin{bmatrix} a_{11} & a_{12} \\ a_{21} & a_{22} \end{bmatrix} \cdot \begin{bmatrix} x_1 \\ x_2 \end{bmatrix}\tag{4.2}$$

Yukarıdaki eşitliği s düzleminde yazarsak,

$$\begin{aligned}s \cdot x_1 &= a_{11} \cdot x_1 + a_{12} \cdot x_2 \\ s \cdot x_2 &= a_{21} \cdot x_1 + a_{22} \cdot x_2\end{aligned}\tag{4.3}$$

Elde ettiğimiz (4.3) eşitliğini düzenlersek;

$$\begin{aligned}(s - a_{11}) \cdot x_1 - a_{12} \cdot x_2 &= 0 \\ (s - a_{22}) \cdot x_2 - a_{21} \cdot x_1 &= 0\end{aligned}\quad (4.4)$$

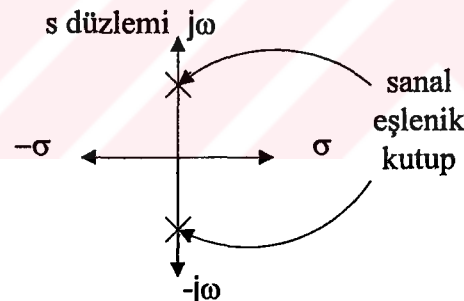
(4.4) denklemindeki  $x_2$ ' ler eşitlenirse ve denklem düzenlenirse aşağıdaki karakteristik denklemi elde ederiz:

$$s^2 - (a_{11} + a_{12}) \cdot s + (a_{11} \cdot a_{12} - a_{11} \cdot a_{12}) = 0 \quad (4.5)$$

(4.5) denklemi karakteristik denklem olarak adlandırılır. Devrenin osilasyon yapması için karakteristik denklem s' in katsayısının 0 olması gereklidir.

$$a_{11} + a_{22} = 0 \quad (4.6)$$

(4.6) eşitliğine osilasyon koşulu denir ve b ile temsil edilir. Bu koşul sağlandığında devrenin kutupları,  $j\omega$  ekseninde eşlenik kutbu çift olur. Şekil 4.1' de köklerin  $j\omega$  ekseninde olduğu gösterilmiştir.



Şekil 4.1 Osilasyon koşulu altında karakteristik denklemin kökleri

Bu kutup osilasyonu aşağıdaki frekansla verilir ve osilasyon frekansı ile adlandırılır  $\omega_0$  ile temsil edilir.

$$\omega_0 = \sqrt{a_{11} \cdot a_{22} - a_{12} \cdot a_{21}} \quad (4.7)$$

$a_{ij}$ ,  $i=1,2$ ,  $j=1,2$  parametrelerinin seçimi, osilatör devresinin özelliklerini belirler. Bağımsız osilasyon koşulunu ve osilasyon frekansını sağlayacak şekilde R ve C

parametrelerinin değerleri durum değişkeni denkleminde uygun şekilde seçilir. Devrenin SRCO'lu olabilmesi için frekans koşulunu sağlayan parametrelerden en az biri, osilasyon koşulunu sağlayan parametrelerin içinde bulunmaması gereklidir. Durum eşitlikleri yazıldıkten sonra bu eşitlikten fiziksel devre gerçekleşimi oluşturulur.  $a_{ij}$ ,  $i=1,2$ ,  $j=1,2$  parametreleri ile oluşan matris  $[A]$  ile ifade edilirse aşağıdaki biçimde yazabiliriz:

$$[A] = \begin{bmatrix} a_{11} & a_{12} \\ a_{21} & a_{22} \end{bmatrix} \quad (4.7)$$

Yukarıdaki ifadelere uygun olarak, karakteristik denklemi elde etmek mümkündür. Minimum sayıda eleman ile SRCO gerçekleştirmek için osilasyon frekansını belirleyen dirençlerden en az birisi osilasyon koşulunu gerçekleyen dirençlerden farklı olmalıdır. Bu durumda 3 direnç elemanı gereklidir. Karakteristik denklemde s katsayısını oluşturan ifadenin 0'a eşit olması, bu ifadeyi iki ifadenin farkı olarak seçme zorunluluğunu ortaya çıkarmaktadır. Bu durumda  $a_{11} + a_{22}$ 'nin seçimi aşağıdaki biçimde seçilebilir [6].

$$\frac{1}{C_2} \cdot \left( \frac{1}{R_2} - \frac{1}{R_3} \right) \quad (4.8)$$

Aşağıda karakteristik denkemin aldığı durumlar belirtilmiştir. Genel olarak farklı direncin aldığı işaret ve s katsayıısındaki kapasitenin R ile çarpıldığında aynı veya farklı olmasıdır. Tablo 4.1'de daha sonra incelenenek olan karakteristik denklemelerin durumları ile ilgili tablo verilmiştir.

#### 4.1 Karakteristik Denkemin 1. Durumu

Frekans osilasyonunu  $R_1$  ile, osilasyon koşulunu  $R_2$  ve  $R_3$  dirençleri ile sağlayacak biçimde karakteristik denklemi aşağıdaki gibi seçebiliriz.

$$s^2 + \frac{1}{C_2} \cdot \left( \frac{1}{R_2} - \frac{1}{R_3} \right) \cdot s + \frac{1}{C_1 \cdot C_2 \cdot R_1 \cdot R_2} = 0 \quad (4.9)$$

(4.9) denklemindeki  $a_{ij}$ ,  $i=1,2$ ,  $j=1,2$  parametrelerinin mümkün olabilecek birkaç seçimi aşağıda açıklanmıştır. Bu karakteristik denkleme ait osilasyon koşulu  $b$ , ve osilasyon frekansı  $\omega_0$ ’ı kolaylıkla yazabiliriz. Osilasyon koşulu:

$$R_2 = R_3 \quad (4.10)$$

Osilasyon frekansı:

$$f_0 = 1/2\pi \cdot \sqrt{C_1 \cdot C_2 \cdot R_1 \cdot R_2} \quad (4.11)$$

Tablo 4.1 Karakteristik denkeme ait durumlar

Durumlar	Karakteristik Denklem
1	$s^2 + \frac{1}{C_2} \cdot \left( \frac{1}{R_2} - \frac{1}{R_3} \right) \cdot s + \frac{1}{C_1 \cdot C_2 \cdot R_1 \cdot R_2} = 0$
2	$s^2 + \frac{1}{C_2} \cdot \left( \frac{1}{R_1} - \frac{1}{R_3} \right) \cdot s + \frac{1}{C_1 \cdot C_2 \cdot R_2 \cdot R_3} = 0$
3	$s^2 + \left( \frac{1}{R_1 \cdot C_1} - \frac{1}{R_3 \cdot C_2} \right) \cdot s + \frac{1}{C_1 \cdot C_2 \cdot R_2 \cdot R_3} = 0$
4	$s^2 + \left( \frac{1}{R_1 \cdot C_1} - \frac{1}{R_3 \cdot C_2} \right) \cdot s + \frac{1}{C_1 \cdot C_2 \cdot R_1 \cdot R_2} = 0$
5	$s^2 + \frac{1}{R_1} \cdot \left( \frac{1}{C_2} - \frac{1}{C_1} \right) \cdot s + \frac{1}{C_1 \cdot C_2 \cdot R_1 \cdot R_2} = 0$
6	$s^2 + \left( \frac{1}{R_4 \cdot C_1} - \frac{1}{R_3 \cdot C_1} - \frac{1}{R_2 \cdot C_2} \right) \cdot s + \frac{1}{C_1 \cdot C_2 \cdot R_2 \cdot R_3} = 0$
7	$s^2 + \left( \frac{1}{R_4 \cdot C_1} - \frac{1}{R_3 \cdot C_1} - \frac{1}{R_2 \cdot C_2} \right) \cdot s + \frac{1}{C_1 \cdot C_2 \cdot R_2 \cdot R_4} = 0$

#### 4.1.1 1. Seçim

$a_{11}$  ve  $a_{12}$  parametreleri  $C_1$  kapasitörü ile,  $a_{21}$  ve  $a_{22}$  parametreleri  $C_2$  kapasitörü ile değişeceğinden (4.2) eşitliğinden çıkartırız. Burada  $C_1$  ve  $C_2$ 'nin yerdeğiştirmesinin önemi yoktur. (4.9) eşitliğinde  $a_{11} + a_{22}$  ifadesinin eşiti olan ifadede  $C_1$  kapasitörü olmadığından aşağıdaki seçimi kolaylıkla yapabiliriz:

$$\begin{aligned} a_{11} &= 0 & a_{12} &= -\frac{1}{C_1 \cdot R_1} \\ a_{21} &= \frac{1}{C_2 \cdot R_2} & a_{22} &= \frac{1}{C_2} \cdot \left( \frac{1}{R_3} - \frac{1}{R_2} \right) \end{aligned} \quad (4.12)$$

(4.12)' den düğüm eşitliğini yazarsak:

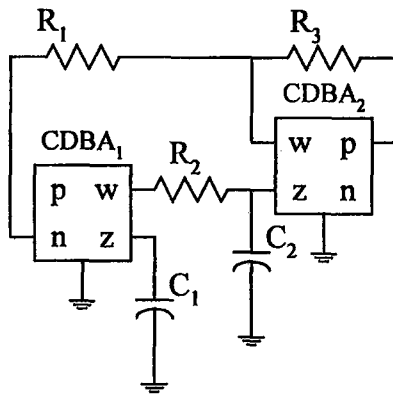
$$C_1 \cdot \frac{dx_1}{dt} = -\frac{x_2}{R_1} \quad C_2 \cdot \frac{dx_2}{dt} = \frac{x_2}{R_3} + \frac{(x_1 - x_2)}{R_2} \quad (4.13)$$

(4.13) denkleminden matris elde edersek:

$$[A] = \begin{bmatrix} 0 & -\frac{1}{R_1 \cdot C_1} \\ \frac{1}{R_2 \cdot C_2} & \frac{1}{C_2} \cdot \left( \frac{1}{R_3} - \frac{1}{R_2} \right) \end{bmatrix} \quad (4.14)$$

(4.13) eşitliğindeki düğüm denkleminden yola çıkarak CDBA'lı şekil 4.2' deki fiziksel devreyi elde edebiliriz. (4.13) denkleminden kurallar elde edilir.  $C_1$  ve  $C_2$  topraklanmış kapasitelerinde sırasıyla  $x_1$  ve  $x_2$  gerilimleri vardır, bunlar da sırasıyla  $CDBA_1$  ve  $CDBA_2$  elemanlarının z terminalerinden toprağa bağlanır. Sağ taraftaki ifadeler  $i_{z1}$  ve  $i_{z2}$  akımlarını oluşturur.  $-\frac{x_2}{R_1}$ ,  $\frac{x_2}{R_3}$  sırası ile negatif ve pozitif işaretli toplama devresi ile elde edilir ve eviren ve evirmeyen gerilim kontrollü akım kaynakları ile sağlanmaktadır.  $\frac{x_1 - x_2}{R_2}$  cebrik farkı oluşturur.

Osilasyon frekansının, osilasyon koşulundan bağımsız olarak kontrol edilebilmesi, tamponlanmış çıkış ve tüm elemanların topraklanmış olması devrelerin özellikleridir.



Şekil 4.2 1. seçime ait devre

#### 4.1.2 2. Seçim

1. seçimdeki  $a_{12}$  ve  $a_{21}$  parametrelerinin işaretlerini birbirleri ile değiştirirsek yeni seçimimiz:

$$\begin{aligned} a_{11} &= 0 & a_{12} &= \frac{1}{C_1 \cdot R_1} \\ a_{21} &= -\frac{1}{C_2 \cdot R_2} & a_{22} &= \frac{1}{C_2} \cdot \left( \frac{1}{R_3} - \frac{1}{R_2} \right) \end{aligned} \quad (4.15)$$

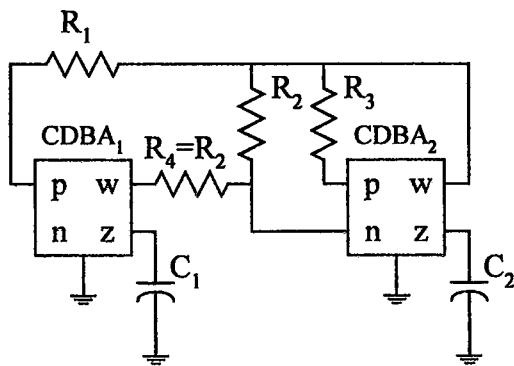
(4.14)' den düğüm eşitliğini yazarsak:

$$C_1 \cdot \frac{dx_1}{dt} = \frac{x_2}{R_1} \quad C_2 \cdot \frac{dx_2}{dt} = \frac{x_2}{R_3} + \frac{(x_1 + x_2)}{R_2} \quad (4.16)$$

(4.15) denklemlerinden matrisi elde edersek:

$$[A] = \begin{bmatrix} 0 & \frac{1}{R_1 \cdot C_1} \\ -\frac{1}{R_2 \cdot C_2} & \frac{1}{C_2} \cdot \left( \frac{1}{R_3} - \frac{1}{R_2} \right) \end{bmatrix} \quad (4.17)$$

(4.16) denkleminden yola çıkarak CDBA'lı devreyi çizebiliriz:



Şekil 4.3 2. seçime ait devre

Bu seçimi ayar işlemine uygun olmadığı için tercih etmiyoruz. Sebebi ise gerilim toplamından dolayı devre fiziksel gerçekleştirilirken bir tane daha dirence mal olmasındır. Bu ekonomik bir seçim değildir.

#### 4.1.3 3. Seçim

1. seçimdeki  $a_{12}$  ve  $a_{21}$  parametrelerindeki dirençleri birbirleri ile değiştirirsek yeni seçimimiz:

$$\begin{aligned} a_{11} &= 0 & a_{12} &= -\frac{1}{C_1 \cdot R_2} \\ a_{21} &= \frac{1}{C_2 \cdot R_1} & a_{22} &= \frac{1}{C_2} \cdot \left( \frac{1}{R_3} - \frac{1}{R_2} \right) \end{aligned} \quad (4.18)$$

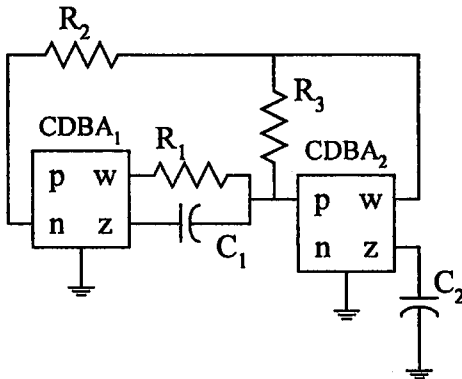
(4.18)' den düğüm eşitliğini yazarsak:

$$C_1 \cdot \frac{dx_1}{dt} = -\frac{x_2}{R_2} \quad C_2 \cdot \frac{dx_2}{dt} = \frac{x_1}{R_1} + \frac{x_2}{R_3} - \frac{x_2}{R_2} \quad (4.19)$$

(4.19) denklemlerinden matrisi elde edersek:

$$[A] = \begin{bmatrix} 0 & -\frac{1}{R_2 \cdot C_1} \\ \frac{1}{R_1 \cdot C_2} & \frac{1}{C_2} \cdot \left( \frac{1}{R_3} - \frac{1}{R_2} \right) \end{bmatrix} \quad (4.20)$$

(4.20) denkleminden yola çıkarak CDBA'lı devreyi çizebiliriz:



Şekil 4.4 3. seçime ait devre

#### 4.1.4 4. Seçim

3. seçimdeki  $a_{12}$  ve  $a_{21}$  parametrelerinin işaretleri birbirleri ile değiştirirsek yeni seçimimiz:

$$\begin{aligned} a_{11} &= 0 & a_{12} &= \frac{1}{C_1 \cdot R_2} \\ a_{21} &= -\frac{1}{C_2 \cdot R_1} & a_{22} &= \frac{1}{C_2} \cdot \left( \frac{1}{R_3} - \frac{1}{R_2} \right) \end{aligned} \quad (4.21)$$

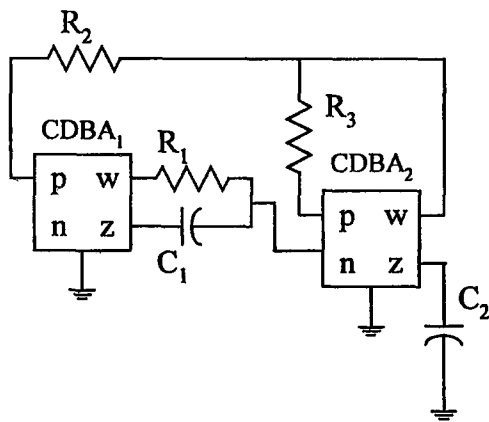
(4.21)' den düğüm eşitliğini yazarsak:

$$C_1 \cdot \frac{dx_1}{dt} = \frac{x_2}{R_2} \quad C_2 \cdot \frac{dx_2}{dt} = -\frac{x_1}{R_1} + \frac{x_2}{R_3} - \frac{x_2}{R_2} \quad (4.22)$$

(4.25) denklemlerinden matrisi elde edersek:

$$[A] = \begin{bmatrix} 0 & \frac{1}{R_2 \cdot C_1} \\ -\frac{1}{R_1 \cdot C_2} & \frac{1}{C_2} \cdot \left( \frac{1}{R_3} - \frac{1}{R_2} \right) \end{bmatrix} \quad (4.23)$$

(4.25) denkleminden yola çıkarak CDBA'lı devreyi çizebiliriz:



Şekil 4.5 4. seçime ait devre

#### 4.1.5 5. Seçim

1., 2., 3. ve 4. seçimlerdeki  $[A]$  matrisinin  $-1$  ile çarpılmasıından oluşan yeni matrislere ait seçimlerde elde edebiliriz. 1. seçimdeki matrisin  $-1$  ile çarpılmasıından:

$$\begin{aligned} a_{11} &= 0 & a_{12} &= \frac{1}{C_1 \cdot R_1} \\ a_{21} &= -\frac{1}{C_2 \cdot R_2} & a_{22} &= -\frac{1}{C_2} \cdot \left( \frac{1}{R_3} - \frac{1}{R_2} \right) \end{aligned} \quad (4.24)$$

(4.29)' dan düğüm eşitliğini yazarsak:

$$C_1 \cdot \frac{dx_1}{dt} = \frac{x_2}{R_1} \quad C_2 \cdot \frac{dx_2}{dt} = -\frac{x_2}{R_3} - \frac{(x_1 - x_2)}{R_2} \quad (4.25)$$

(4.25) denklemlerinden matrisi elde edersek:

$$[A] = \begin{bmatrix} 0 & \frac{1}{R_1 \cdot C_1} \\ -\frac{1}{R_2 \cdot C_2} & -\frac{1}{C_2} \cdot \left( \frac{1}{R_3} - \frac{1}{R_2} \right) \end{bmatrix} \quad (4.26)$$

(4.25) denkleminden yola çıkarak CDBA'lı devreyi çizebiliriz ancak bu çizim 2. seçimdeki gibi dördüncü bir dirence ihtiyaç olacaktır. Dolayısıyla ayar işlemine uygun olmayacağından bu devre çizilmesine gerek duyulmamıştır.

#### 4.1.6 6. Seçim

2. seçimdeki matrisin  $-1$  ile çarpılmasından:

$$\begin{aligned} a_{11} &= 0 & a_{12} &= -\frac{1}{C_1 \cdot R_1} \\ a_{21} &= \frac{1}{C_2 \cdot R_2} & a_{22} &= -\frac{1}{C_2} \cdot \left( \frac{1}{R_3} - \frac{1}{R_2} \right) \end{aligned} \quad (4.27)$$

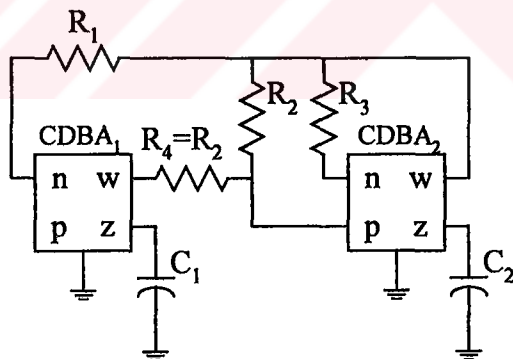
(4.27)' den düğüm eşitliğini yazarsak:

$$C_1 \cdot \frac{dx_1}{dt} = -\frac{x_2}{R_1} \quad C_2 \cdot \frac{dx_2}{dt} = -\frac{x_2}{R_3} + \frac{(x_1 + x_2)}{R_2} \quad (4.28)$$

(4.28) denklemelerinden matrisi elde edersek:

$$[A] = \begin{bmatrix} 0 & -\frac{1}{R_1 \cdot C_1} \\ \frac{1}{R_2 \cdot C_2} & -\frac{1}{C_2} \cdot \left( \frac{1}{R_3} - \frac{1}{R_2} \right) \end{bmatrix} \quad (4.29)$$

(4.28) denkleminden yola çıkarak CDBA'lı devreyi çizebiliriz. Ancak bu biçim bir tane daha dirence mal olduğundan dolayı ayar işlemeye uymaz



Şekil 4.6 6. seçime ait devre

#### 4.1.7 7. Seçim

3. seçimdeki matrisin  $-1$  ile çarpılmasından:

$$\begin{aligned}
 a_{11} &= 0 & a_{12} &= \frac{1}{C_1 \cdot R_2} \\
 a_{21} &= -\frac{1}{C_2 \cdot R_1} & a_{22} &= -\frac{1}{C_2} \cdot \left( \frac{1}{R_3} - \frac{1}{R_2} \right)
 \end{aligned} \tag{4.30}$$

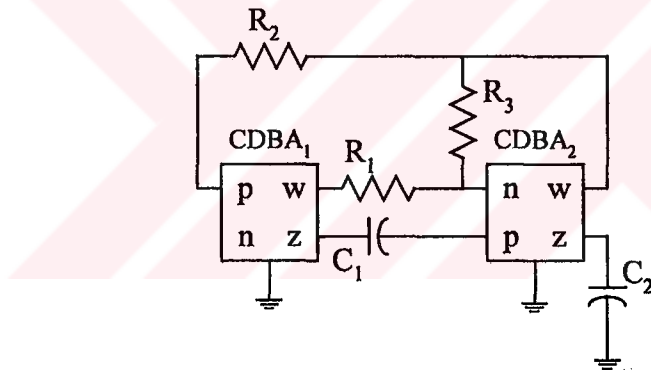
(4.30)' dan düğüm eşitliğini yazarsak:

$$C_1 \cdot \frac{dx_1}{dt} = \frac{x_2}{R_2} \quad C_2 \cdot \frac{dx_2}{dt} = -\frac{x_1}{R_1} + \frac{x_2}{R_2} - \frac{x_2}{R_3} \tag{4.31}$$

(4.31) denklemelerinden matrisi elde edersek:

$$[A] = \begin{bmatrix} 0 & \frac{1}{R_2 \cdot C_1} \\ -\frac{1}{R_1 \cdot C_2} & -\frac{1}{C_2} \cdot \left( \frac{1}{R_3} - \frac{1}{R_2} \right) \end{bmatrix} \tag{4.32}$$

(4.32) denkleminden yola çıkararak CDBA'lı devreyi çizebiliriz:



Şekil 4.7 7. seçime ait devre

#### 4.1.8 8. Seçim

4. seçimdeki matrisin  $-1$  ile çarpılmasıından:

$$\begin{aligned}
 a_{11} &= 0 & a_{12} &= -\frac{1}{C_1 \cdot R_2} \\
 a_{21} &= \frac{1}{C_2 \cdot R_1} & a_{22} &= -\frac{1}{C_2} \cdot \left( \frac{1}{R_3} - \frac{1}{R_2} \right)
 \end{aligned} \tag{4.33}$$

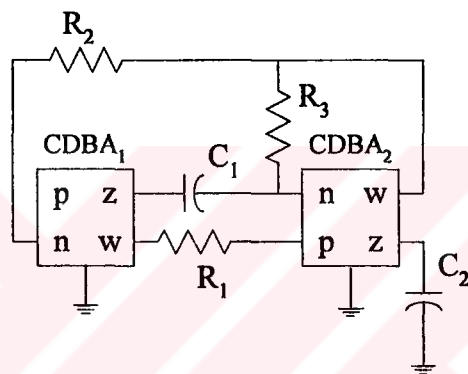
(4.33)' den düğüm eşitliğini yazarsak:

$$C_1 \cdot \frac{dx_1}{dt} = -\frac{x_2}{R_2} \quad C_2 \cdot \frac{dx_2}{dt} = \frac{x_1}{R_1} - \frac{x_2}{R_3} + \frac{x_2}{R_2} \quad (4.34)$$

(4.34) denklemlerinden matrisi elde edersek:

$$[A] = \begin{bmatrix} 0 & -\frac{1}{R_2 \cdot C_1} \\ \frac{1}{R_1 \cdot C_2} & -\frac{1}{C_2} \cdot \left( \frac{1}{R_3} - \frac{1}{R_2} \right) \end{bmatrix} \quad (4.35)$$

(4.35) denkleminden yola çıkarak CDBA'lı devreyi çizebiliriz:



Şekil 4.8 8. seçime ait devre

Karakteristik denklemin 1. durumuyla ilgili seçimler bu kadardır. 5., 6., 7. ve 8. seçimler sıra ile 1., 2., 3. ve 4. seçimlerdeki  $[A]$  matrisinin  $-1$  ile çarpılmasıından elde edilmiştir. 5., 6., 7. ve 8. seçimlerdeki fiziksel devrelerden karakteristik denklem yazıldığında, aşağıda anlatılmış olan, karakteristik denklemin 2. durumu ile benzerlik göstermektedir.

## 4.2 Karakteristik Denklemin 2. Durumu

Karakteristik denklemin 1. durumundaki osilasyon frekansını sağlayacak olan ifade deki direnç, osilasyon koşulunu sağlayacak olan ifadedeki direnç ile aynı işaretli idi. Bu bölümde ters olması durumu incelemiştir. Frekans osilasyonunu  $R_2$  ile,

osilasyon koşulunu  $R_1 = R_3$  dirençleri ile sağlayacak biçimde karakteristik denklemi aşağıdaki gibi seçebiliriz.

$$s^2 + \frac{1}{C_2} \cdot \left( \frac{1}{R_1} - \frac{1}{R_3} \right) \cdot s + \frac{1}{C_1 \cdot C_2 \cdot R_2 \cdot R_3} = 0 \quad (5.36)$$

Bu karakteristik denkleme ait osilasyon koşulu  $b$ , ve osilasyon frekansı  $\omega_0'$  ı kolaylıkla yazabiliriz. Osilasyon koşulu:

$$R_1 = R_3 \quad (4.37)$$

Osilasyon frekansı:

$$f_0 = 1/2\pi \cdot \sqrt{C_1 \cdot C_2 \cdot R_2 \cdot R_3} \quad (4.38)$$

(5.36) denklemindeki  $a_{ij}$ ,  $i=1,2$ ,  $j=1,2$  parametrelerinin mümkün olabilecek seçimleri aşağıda incelenmiştir.

#### 4.2.1 9.Seçim

Aşağıdaki seçimi kolayca yapabiliriz:

$$\begin{aligned} a_{11} &= 0 & a_{12} &= -\frac{1}{C_1 \cdot R_2} \\ a_{21} &= \frac{1}{C_2 \cdot R_3} & a_{22} &= \frac{1}{C_2} \cdot \left( \frac{1}{R_3} - \frac{1}{R_1} \right) \end{aligned} \quad (4.39)$$

(4.39)' dan düğüm eşitliğini yazarsak:

$$C_1 \cdot \frac{dx_1}{dt} = -\frac{x_2}{R_2} \quad C_2 \cdot \frac{dx_2}{dt} = -\frac{x_2}{R_1} + \frac{(x_1 + x_2)}{R_3} \quad (4.40)$$

(4.40) eşitliğindeki düğüm denkleminden yola çıkarak elde edilecek fiziksel devre 6. seçime ait şekil 4.6' daki fiziksel devre ile aynı olduğundan burada tekrar çizilmemiştir. Aşağıda geçen seçimler ile aynı olan daha önceki seçimler varsa bunlarla ilgili devreler çizilmeyip sadece referansı verilecektir.

#### 4.2.2 10.Seçim

9. seçimdeki  $a_{12}$  ve  $a_{21}$  parametrelerinin işaretlerini birbirleri ile değiştirirsek yeni seçimimiz:

$$\begin{aligned} a_{11} &= 0 & a_{12} &= \frac{1}{C_1 \cdot R_2} \\ a_{21} &= -\frac{1}{C_2 \cdot R_3} & a_{22} &= \frac{1}{C_2} \cdot \left( \frac{1}{R_3} - \frac{1}{R_1} \right) \end{aligned} \quad (4.41)$$

(4.41)' den düğüm eşitliğini yazarsak:

$$C_1 \cdot \frac{dx_1}{dt} = \frac{x_2}{R_2} \quad C_2 \cdot \frac{dx_2}{dt} = -\frac{x_2}{R_1} - \frac{(x_1 - x_2)}{R_3} \quad (4.42)$$

(4.42) denkleminden yola çıkararak CDBA'lı devre 5. seçimdeki devre ile aynıdır.

#### 4.2.3 11.Seçim

9. seçimdeki  $a_{12}$  ve  $a_{21}$  parametrelerindeki dirençleri birbirleri ile değiştirirsek yeni seçimimiz:

$$\begin{aligned} a_{11} &= 0 & a_{12} &= -\frac{1}{C_1 \cdot R_3} \\ a_{21} &= \frac{1}{C_2 \cdot R_2} & a_{22} &= \frac{1}{C_2} \cdot \left( \frac{1}{R_3} - \frac{1}{R_1} \right) \end{aligned} \quad (4.43)$$

(4.43)' den düğüm eşitliğini yazarsak:

$$C_1 \cdot \frac{dx_1}{dt} = -\frac{x_2}{R_3} \quad C_2 \cdot \frac{dx_2}{dt} = \frac{x_1}{R_2} + \frac{x_2}{R_3} - \frac{x_2}{R_1} \quad (4.44)$$

(4.44) denkleminden yola çıkararak CDBA'lı devre 8. seçimdeki devre ile aynıdır.

#### 4.2.4 12.Seçim

11. seçimdeki  $a_{12}$  ve  $a_{21}$  parametrelerinin işaretleri birbirleri ile değiştirirsek yeni seçimimiz:

$$a_{11} = 0 \quad a_{12} = \frac{1}{C_1 \cdot R_3} \quad (4.45a)$$

$$a_{21} = -\frac{1}{C_2 \cdot R_2} \quad a_{22} = \frac{1}{C_2} \cdot \left( \frac{1}{R_3} - \frac{1}{R_1} \right) \quad (4.45b)$$

(4.45)' den düğüm eşitliğini yazarsak:

$$C_1 \cdot \frac{dx_1}{dt} = \frac{x_2}{R_3} \quad C_2 \cdot \frac{dx_2}{dt} = -\frac{x_1}{R_2} + \frac{x_2}{R_3} - \frac{x_2}{R_1} \quad (4.46)$$

(4.46) denkleminden yola çıkarak CDBA'lı devre 7. seçimdeki devre ile aynıdır.

#### 4.2.5 13.Seçim

9., 10., 11. ve 12. seçimlerdeki  $[A]$  matrisinin  $-1$  ile çarpılmasıından oluşan yeni matrislere ait seçimlerde elde edebiliriz. 9. seçimdeki matrisin  $-1$  ile çarpılmasıından:

$$a_{11} = 0 \quad a_{12} = \frac{1}{C_1 \cdot R_2}$$

$$a_{21} = -\frac{1}{C_2 \cdot R_3} \quad a_{22} = -\frac{1}{C_2} \cdot \left( \frac{1}{R_3} - \frac{1}{R_1} \right) \quad (4.47)$$

(4.47)' den düğüm eşitliğini yazarsak:

$$C_1 \cdot \frac{dx_1}{dt} = \frac{x_2}{R_2} \quad C_2 \cdot \frac{dx_2}{dt} = \frac{x_2}{R_1} - \frac{x_2}{R_3} - \frac{x_1}{R_3} \quad (4.48)$$

(4.48) denkleminden yola çıkarak CDBA'lı devre 2. seçimdeki devre ile aynıdır.

#### 4.2.6 14.Seçim

10. seçimdeki matrisin  $-1$  ile çarpılmasıından:

$$a_{11} = 0 \quad a_{12} = -\frac{1}{C_1 \cdot R_2}$$

$$a_{21} = \frac{1}{C_2 \cdot R_3} \quad a_{22} = -\frac{1}{C_2} \cdot \left( \frac{1}{R_3} - \frac{1}{R_1} \right) \quad (4.49)$$

(4.49)' dan düğüm eşitliğini yazarsak:

$$C_1 \cdot \frac{dx_1}{dt} = -\frac{x_2}{R_2} \quad C_2 \cdot \frac{dx_2}{dt} = \frac{x_2}{R_1} + \frac{(x_1 - x_2)}{R_3} \quad (4.50)$$

(4.50) denkleminden yola çıkarak CDBA'lı devre 1. seçimdeki devre ile aynıdır.

#### 4.2.7 15.Seçim

11. seçimdeki matrisin  $-1$  ile çarpılmasından:

$$\begin{aligned} a_{11} &= 0 & a_{12} &= \frac{1}{C_1 \cdot R_3} \\ a_{21} &= -\frac{1}{C_2 \cdot R_2} & a_{22} &= -\frac{1}{C_2} \cdot \left( \frac{1}{R_3} - \frac{1}{R_1} \right) \end{aligned} \quad (4.51)$$

(4.51)' den düğüm eşitliğini yazarsak:

$$C_1 \cdot \frac{dx_1}{dt} = \frac{x_2}{R_3} \quad C_2 \cdot \frac{dx_2}{dt} = -\frac{x_1}{R_2} - \frac{x_2}{R_3} + \frac{x_2}{R_1} \quad (4.52)$$

(4.52) denkleminden yola çıkarak CDBA'lı devre 4. seçimdeki devre ile aynıdır.

#### 4.2.8 16.Seçim

12. seçimdeki matrisin  $-1$  ile çarpılmasından:

$$\begin{aligned} a_{11} &= 0 & a_{12} &= -\frac{1}{C_1 \cdot R_3} \\ a_{21} &= \frac{1}{C_2 \cdot R_2} & a_{22} &= -\frac{1}{C_2} \cdot \left( \frac{1}{R_3} - \frac{1}{R_1} \right) \end{aligned} \quad (4.53)$$

(4.53)' den düğüm eşitliğini yazarsak:

$$C_1 \cdot \frac{dx_1}{dt} = -\frac{x_2}{R_3} \quad C_2 \cdot \frac{dx_2}{dt} = \frac{x_2}{R_1} - \frac{x_2}{R_3} + \frac{x_1}{R_2} \quad (4.54)$$

(4.54) denkleminden yola çıkarak CDBA'lı devre 3. seçimdeki devre ile aynıdır.

### 4.3 Karakteristik Denklemin 3. Durumu

Karakteristik denklemin 1. durumundaki ortak çarpan parantezi  $C_2$  kapasitörü ididir.  $C_2$  kapasitörünü parantez ile çarparıksa ve  $C_1 \neq C_2$  olarak alırsak bu durumda karakteristik denklemimiz:

$$s^2 + \left( \frac{1}{R_1 \cdot C_1} - \frac{1}{R_3 \cdot C_2} \right) \cdot s + \frac{1}{C_1 \cdot C_2 \cdot R_2 \cdot R_3} = 0 \quad (5.55)$$

Bu karakteristik denkleme ait osilasyon koşulu  $b$ , ve osilasyon frekansı  $\omega_0'$  ı kolaylıkla yazabiliz. Osilasyon koşulu:

$$R_1 \cdot C_1 = R_3 \cdot C_2 \quad (4.56)$$

Osilasyon frekansı:

$$f_0 = 1/2\pi \cdot \sqrt{C_1 \cdot C_2 \cdot R_2 \cdot R_3} \quad (4.57)$$

(5.55) denklemindeki  $a_{ij}$ ,  $i=1,2$ ,  $j=1,2$  parametrelerinin mümkün olabilecek seçimleri aşağıda incelenmiştir.

#### 4.3.1 17.Seçim

Aşağıdaki seçimi kolayca yapabiliriz:

$$\begin{aligned} a_{11} &= -\frac{1}{C_1 \cdot R_1} & a_{12} &= -\frac{1}{C_1} \cdot \left( \frac{1}{R_1} + \frac{1}{R_2} \right) \\ a_{21} &= \frac{1}{C_2 \cdot R_3} & a_{22} &= \frac{1}{C_2 \cdot R_3} \end{aligned} \quad (4.58)$$

(4.58)' den düğüm eşitliğini yazarsak:

$$C_1 \cdot \frac{dx_1}{dt} = -\frac{(x_2 + x_1)}{R_1} - \frac{x_2}{R_2} \quad C_2 \cdot \frac{dx_2}{dt} = \frac{(x_1 + x_2)}{R_3} \quad (4.59)$$

(4.59) eşitliğindeki düğüm denkleminden yola çıkarak CDBA'lı fiziksel devre ayar işlemine aykırı olduğundan çizilmemiştir.

#### 4.3.2 18.Seçim

17. seçimdeki  $a_{12}$  ve  $a_{21}$  parametrelerinin işaretleri birbirleri ile değiştirirsek yeni seçimimiz:

$$\begin{aligned} a_{11} &= -\frac{1}{C_1 \cdot R_1} & a_{12} &= \frac{1}{C_1} \cdot \left( \frac{1}{R_1} + \frac{1}{R_2} \right) \\ a_{21} &= -\frac{1}{C_2 \cdot R_3} & a_{22} &= \frac{1}{C_2 \cdot R_3} \end{aligned} \quad (4.60)$$

(4.60)' dan düğüm eşitliğini yazarsak:

$$C_1 \cdot \frac{dx_1}{dt} = \frac{(x_2 - x_1)}{R_1} + \frac{x_2}{R_2} \quad C_2 \cdot \frac{dx_2}{dt} = \frac{(x_2 - x_1)}{R_3} \quad (4.61)$$

(4.61) eşitliğindeki düğüm denkleminden elde edilen CDBA'lı fiziksel devre ayar işlemine uygun olmadığından çizilmemiştir.

#### 4.3.3 19.Seçim

17. seçimdeki  $a_{12}$  ve  $a_{21}$  parametrelerindeki dirençleri birbirleri ile değiştirirsek yeni seçimimiz::

$$\begin{aligned} a_{11} &= -\frac{1}{C_1 \cdot R_1} & a_{12} &= -\frac{1}{C_1 \cdot R_3} \\ a_{21} &= \frac{1}{C_2} \cdot \left( \frac{1}{R_1} + \frac{1}{R_2} \right) & a_{22} &= \frac{1}{C_2 \cdot R_3} \end{aligned} \quad (4.62)$$

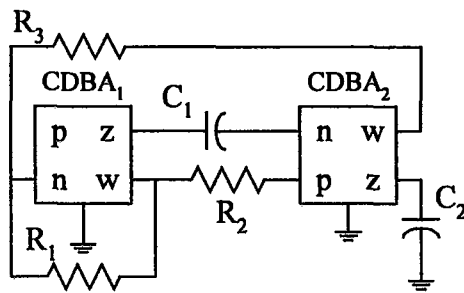
(4.62)' den düğüm eşitliğini yazarsak:

$$C_1 \cdot \frac{dx_1}{dt} = -\frac{x_1}{R_1} - \frac{x_2}{R_3} \quad C_2 \cdot \frac{dx_2}{dt} = \frac{x_1}{R_1} + \frac{x_1}{R_2} + \frac{x_2}{R_3} \quad (4.63)$$

(4.63) denkleminden matrisi elde edersek:

$$[A] = \begin{bmatrix} -\frac{1}{R_1 \cdot C_1} & -\frac{1}{R_3 \cdot C_1} \\ \frac{1}{C_2} \cdot \left( \frac{1}{R_1} + \frac{1}{R_2} \right) & \frac{1}{R_3 \cdot C_2} \end{bmatrix} \quad (4.64)$$

(4.63) eşitliğindeki düğüm denkleminden yola çıkarak CDBA'lı şekil 4.8'deki fiziksel devreyi elde edebiliriz.



Şekil 4.8 19. seçime ait devre

#### 4.3.4 20.Seçim

19. seçimdeki  $a_{12}$  ve  $a_{21}$  parametrelerinin işaretleri birbirleri ile değiştirirsek yeni seçimimiz:

$$\begin{aligned} a_{11} &= -\frac{1}{C_1 \cdot R_1} & a_{12} &= \frac{1}{C_1 \cdot R_3} \\ a_{21} &= -\frac{1}{C_2} \cdot \left( \frac{1}{R_1} + \frac{1}{R_2} \right) & a_{22} &= \frac{1}{C_2 \cdot R_3} \end{aligned} \quad (4.65)$$

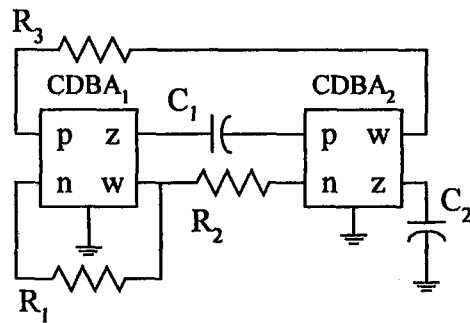
(4.65)'den düğüm eşitliğini yazarsak:

$$C_1 \cdot \frac{dx_1}{dt} = -\frac{x_1}{R_1} + \frac{x_2}{R_3} \quad C_2 \cdot \frac{dx_2}{dt} = -\frac{x_1}{R_1} - \frac{x_1}{R_2} + \frac{x_2}{R_3} \quad (4.66)$$

(4.66) denkleminden matrisi elde edersek:

$$[A] = \begin{bmatrix} -\frac{1}{R_1 \cdot C_1} & \frac{1}{R_3 \cdot C_1} \\ -\frac{1}{C_2} \cdot \left( \frac{1}{R_1} + \frac{1}{R_2} \right) & \frac{1}{R_3 \cdot C_2} \end{bmatrix} \quad (4.67)$$

(4.66) eşitliğindeki düğüm denkleminden yola çıkarak CDBA'lı şekil 4.10' daki fiziksel devreyi elde edebiliriz.



Şekil 4.10 20. seçime ait devre

#### 4.3.5 21.Seçim

17., 18., 19. ve 20. seçimlerdeki  $[A]$  matrisinin  $-1$  ile çarpılmasıından oluşan yeni matrislere ait seçimlerde elde edebiliriz. 17. seçimdeki matrisin  $-1$  ile çarpılmasıından:

$$a_{11} = \frac{1}{C_1 \cdot R_1} \quad a_{12} = \frac{1}{C_1} \cdot \left( \frac{1}{R_1} + \frac{1}{R_2} \right) \quad (4.67a)$$

$$a_{21} = -\frac{1}{C_2 \cdot R_3} \quad a_{22} = -\frac{1}{C_2 \cdot R_3} \quad (4.67b)$$

(4.67)'den düğüm eşitliğini yazarsak:

$$C_1 \cdot \frac{dx_1}{dt} = \frac{(x_2 + x_1)}{R_1} + \frac{x_2}{R_2} \quad C_2 \cdot \frac{dx_2}{dt} = -\frac{(x_1 + x_2)}{R_3} \quad (4.68)$$

(4.68) eşitliğindeki düğüm denkleminden yola çıkarak elde edilecek devre ayar işlemine uymadığından fiziksel devrenin çizimi verilmemiştir.

#### 4.3.6 22.Seçim

18. seçimdeki matrisin  $-1$  ile çarpılmasıından:

$$\begin{aligned} a_{11} &= \frac{1}{C_1 \cdot R_1} & a_{12} &= -\frac{1}{C_1} \cdot \left( \frac{1}{R_1} + \frac{1}{R_2} \right) \\ a_{21} &= \frac{1}{C_2 \cdot R_3} & a_{22} &= -\frac{1}{C_2} \cdot \frac{1}{R_3} \end{aligned} \quad (4.69)$$

(4.69)' dan düğüm eşitliğini yazarsak:

$$C_1 \cdot \frac{dx_1}{dt} = \frac{(x_1 - x_2)}{R_1} + \frac{x_2}{R_2} \quad C_2 \cdot \frac{dx_2}{dt} = \frac{(x_1 - x_2)}{R_3} \quad (4.70)$$

(4.70) eşitliğindeki düğüm denkleminden yola çıkarak elde edilecek devre ayar işlemine uymadığından fiziksel devrenin çizimi verilmemiştir

#### 4.3.7 23.Seçim

19. seçimdeki matrisin  $-1$  ile çarpılmasıından:

$$a_{11} = \frac{1}{C_1 \cdot R_1} \quad a_{12} = \frac{1}{C_1 \cdot R_3} \quad (4.71a)$$

$$a_{21} = -\frac{1}{C_2} \cdot \left( \frac{1}{R_1} + \frac{1}{R_2} \right) \quad a_{22} = -\frac{1}{C_2 \cdot R_3} \quad (4.71b)$$

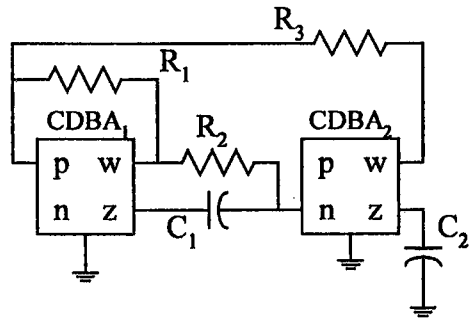
(4.71)' den düğüm eşitliğini yazarsak:

$$C_1 \cdot \frac{dx_1}{dt} = \frac{x_1}{R_1} + \frac{x_2}{R_3} \quad C_2 \cdot \frac{dx_2}{dt} = -\left( \frac{x_1}{R_1} + \frac{x_2}{R_3} \right) - \frac{x_1}{R_2} \quad (4.72)$$

(4.73) denkleminden matrisi elde edersek:

$$[A] = \begin{bmatrix} \frac{1}{R_1 \cdot C_1} & \frac{1}{R_3 \cdot C_1} \\ -\frac{1}{C_2} \cdot \left( \frac{1}{R_1} + \frac{1}{R_2} \right) & -\frac{1}{R_3 \cdot C_2} \end{bmatrix} \quad (4.73)$$

(4.73) eşitliğindeki düğüm denkleminden yola çıkarak CDBA'lı şekil 4.11' deki fiziksel devreyi elde edebiliriz.



Şekil 4.11 23. seçime ait devre

#### 4.3.8 24.Seçim

20. seçimdeki matrisin -1 ile çarpılmasıından:

$$\begin{aligned} a_{11} &= \frac{1}{C_1 \cdot R_1} & a_{12} &= -\frac{1}{C_1 \cdot R_3} \\ a_{21} &= \frac{1}{C_2} \cdot \left( \frac{1}{R_1} + \frac{1}{R_2} \right) & a_{22} &= -\frac{1}{C_2 \cdot R_3} \end{aligned} \quad (4.74)$$

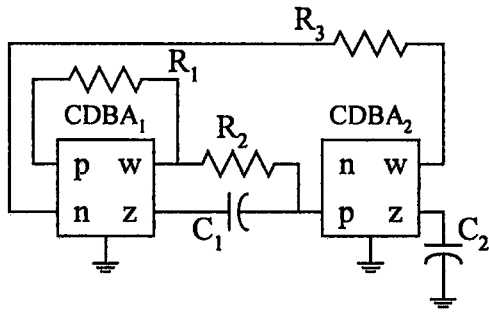
(4.74)' den düğüm eşitliğini yazarsak:

$$C_1 \cdot \frac{dx_1}{dt} = \frac{x_1}{R_1} - \frac{x_2}{R_3} \quad C_2 \cdot \frac{dx_2}{dt} = \frac{x_1}{R_1} + \frac{x_1}{R_2} - \frac{x_2}{R_3} \quad (4.75)$$

(4.74) denkleminden matrisi elde edersek:

$$[A] = \begin{bmatrix} \frac{1}{R_1 \cdot C_1} & -\frac{1}{R_3 \cdot C_1} \\ \frac{1}{C_2} \cdot \left( \frac{1}{R_1} + \frac{1}{R_2} \right) & -\frac{1}{R_3 \cdot C_2} \end{bmatrix} \quad (4.76)$$

(4.75) eşitliğindeki düğüm denkleminden yola çıkarak CDBA'lı şekil 4.12' deki fiziksel devreyi elde edebiliriz.



Şekil 4.12 24. seçime ait devre

Karakteristik denklemin 3. durumuyla ilgili seçimlerimiz bu kadardır. 21., 22., 23. ve 24. seçimler sıra ile 17., 18., 19. ve 20. seçimlerdeki [A] matrisinin -1 ile çarpılmasıından elde edilmişti. 21., 22., 23. ve 24. seçimlerdeki fiziksel devrelerden karakteristik denklem yazıldığında, aşağıda anlatılmış olan, karakteristik denklemin 4. durumu ile benzerlik göstermektedir.

#### 4.4 Karakteristik Denklemin 4. Durumu

Karakteristik denklemin 3. durumundaki osilasyon frekansını sağlayacak olan ifadedeki direnç, osilasyon koşulunu sağlayacak olan ifadedeki direnç ile ters işaretli idi. Bu bölümde aynı olması durumu incelenmiştir.

$$s^2 + \left( \frac{1}{R_1 \cdot C_1} - \frac{1}{R_3 \cdot C_2} \right) \cdot s + \frac{1}{C_1 \cdot C_2 \cdot R_1 \cdot R_2} = 0 \quad (4.77)$$

Bu karakteristik denklemde ait osilasyon koşulu  $b$ , ve osilasyon frekansı  $\omega_0$ ’ı kolaylıkla yazabiliriz. Osilasyon koşulu:

$$R_1 \cdot C_1 = R_3 \cdot C_2 \quad (4.78)$$

Osilasyon frekansı:

$$f_0 = 1/2\pi \cdot \sqrt{C_1 \cdot C_2 \cdot R_1 \cdot R_2} \quad (4.79)$$

(5.77) denklemindeki  $a_{ij}$ ,  $i=1,2$ ,  $j=1,2$  parametrelerinin mümkün olabilecek seçimleri aşağıda incelenmiştir.

#### 4.4.1 25.Seçim

Aşağıdaki seçimi kolayca yapabiliriz:

$$\begin{aligned} a_{11} &= -\frac{1}{C_1 \cdot R_1} & a_{12} &= -\frac{1}{C_1 \cdot R_1} \\ a_{21} &= \frac{1}{C_2} \cdot \left( \frac{1}{R_2} + \frac{1}{R_3} \right) & a_{22} &= \frac{1}{C_2 \cdot R_3} \end{aligned} \quad (4.80)$$

(4.80)' den düğüm eşitliğini yazarsak:

$$C_1 \cdot \frac{dx_1}{dt} = -\frac{(x_2 + x_1)}{R_1} \quad C_2 \cdot \frac{dx_2}{dt} = \frac{x_1}{R_2} + \frac{(x_1 + x_2)}{R_3} \quad (4.81)$$

(4.81) eşitliğindeki düğüm denkleminden yola çıkarak elde edilecek CDBA'lı devre ayar işlemeye uygun olmadığından fiziksel devre çizilmemiştir.

#### 4.4.2 26.Seçim

25. seçimdeki  $a_{11}$  ve  $a_{12}$  parametrelerinin işaretleri birbirleri ile değiştirirsek yeni seçimimiz:

$$\begin{aligned} a_{11} &= -\frac{1}{C_1 \cdot R_1} & a_{12} &= \frac{1}{C_1 \cdot R_1} \\ a_{21} &= -\frac{1}{C_2} \cdot \left( \frac{1}{R_2} + \frac{1}{R_3} \right) & a_{22} &= \frac{1}{C_2 \cdot R_3} \end{aligned} \quad (4.82)$$

(4.82)' den düğüm eşitliğini yazarsak:

$$C_1 \cdot \frac{dx_1}{dt} = \frac{x_2 - x_1}{R_1} \quad C_2 \cdot \frac{dx_2}{dt} = -\frac{x_1}{R_2} + \frac{(x_2 - x_1)}{R_3} \quad (4.83)$$

(4.83) eşitliğindeki düğüm denkleminden yola çıkarak elde edilecek CDBA'lı devre ayar işlemeye uygun olmadığından fiziksel devre çizilmemiştir.

#### 4.4.3 27.Seçim

25. seçimdeki  $a_{11}$  ve  $a_{12}$  parametrelerindeki dirençleri birbirleri ile değiştirirsek yeni seçimimiz:

$$\begin{aligned} a_{11} &= -\frac{1}{C_1 \cdot R_1} & a_{12} &= -\frac{1}{C_1} \cdot \left( \frac{1}{R_2} + \frac{1}{R_3} \right) \\ a_{21} &= \frac{1}{C_2 \cdot R_1} & a_{22} &= \frac{1}{C_2 \cdot R_3} \end{aligned} \quad (4.84)$$

(4.84)' den düğüm eşitliğini yazarsak:

$$C_1 \cdot \frac{dx_1}{dt} = -\frac{x_1}{R_1} - \frac{x_2}{R_2} - \frac{x_2}{R_3} \quad C_2 \cdot \frac{dx_2}{dt} = \frac{x_1}{R_1} + \frac{x_2}{R_3} \quad (4.85)$$

(4.85) eşitliğindeki düğüm denkleminden yola çıkarak CDBA'lı fiziksel devre 23. seçimdeki devre ile aynıdır

#### 4.4.4 28.Seçim

27. seçimdeki  $a_{11}$  ve  $a_{12}$  parametrelerinin işaretleri birbirleri ile değiştirirsek yeni seçimimiz:

$$\begin{aligned} a_{11} &= -\frac{1}{C_1 \cdot R_1} & a_{12} &= \frac{1}{C_1} \cdot \left( \frac{1}{R_2} + \frac{1}{R_3} \right) \\ a_{21} &= -\frac{1}{C_2 \cdot R_1} & a_{22} &= \frac{1}{C_2 \cdot R_3} \end{aligned} \quad (4.86)$$

(4.86)' dan düğüm eşitliğini yazarsak:

$$C_1 \cdot \frac{dx_1}{dt} = -\frac{x_1}{R_1} + \frac{x_2}{R_2} + \frac{x_2}{R_3} \quad C_2 \cdot \frac{dx_2}{dt} = -\frac{x_1}{R_1} + \frac{x_2}{R_3} \quad (4.87)$$

(4.87) eşitliğindeki düğüm denkleminden yola çıkarak elde edilecek fiziksel devre 23. seçimdeki devre ile aynıdır.

#### 4.4.5 29.Seçim

25., 26., 27. ve 28. seçimlerdeki  $[A]$  matrisinin  $-1$  ile çarpılmasından oluşan yeni matrislere ait seçimlerde elde edebiliriz. 25. seçimdeki matrisin  $-1$  ile çarpılmasından:

$$\begin{aligned} a_{11} &= \frac{1}{C_1 \cdot R_1} & a_{12} &= \frac{1}{C_1 \cdot R_1} \\ a_{21} &= -\frac{1}{C_2} \cdot \left( \frac{1}{R_2} + \frac{1}{R_3} \right) & a_{22} &= -\frac{1}{C_2 \cdot R_3} \end{aligned} \quad (4.88)$$

(4.88)' den düğüm eşitliğini yazarsak:

$$C_1 \cdot \frac{dx_1}{dt} = \frac{(x_2 + x_1)}{R_1} \quad C_2 \cdot \frac{dx_2}{dt} = -\frac{x_1}{R_2} - \frac{(x_1 + x_2)}{R_3} \quad (4.89)$$

(4.89) eşitliğindeki düğüm denkleminden yola çıkarak elde edilecek CDBA'lı devre ayar işlemine uygun olmadığından fiziksel devre çizilmemiştir.

#### 4.4.6 30.Seçim

26. seçimdeki matrisin  $-1$  ile çarpılmasından:

$$\begin{aligned} a_{11} &= \frac{1}{C_1 \cdot R_1} & a_{12} &= -\frac{1}{C_1 \cdot R_1} \\ a_{21} &= \frac{1}{C_2} \cdot \left( \frac{1}{R_2} + \frac{1}{R_3} \right) & a_{22} &= -\frac{1}{C_2 \cdot R_3} \end{aligned} \quad (4.90)$$

(4.90)' dan düğüm eşitliğini yazarsak:

$$C_1 \cdot \frac{dx_1}{dt} = -\frac{x_2 - x_1}{R_1} \quad C_2 \cdot \frac{dx_2}{dt} = \frac{x_1}{R_2} + \frac{(-x_2 + x_1)}{R_3} \quad (4.91)$$

(4.91) eşitliğindeki düğüm denkleminden yola çıkarak elde edilecek CDBA'lı devre ayar işlemine uygun olmadığından fiziksel devre çizilmemiştir.

#### 4.4.7 31.Seçim

27. seçimdeki matrisin  $-1$  ile çarpılmasından:

$$\begin{aligned} a_{11} &= \frac{1}{C_1 \cdot R_1} & a_{12} &= \frac{1}{C_1} \cdot \left( \frac{1}{R_2} + \frac{1}{R_3} \right) \\ a_{21} &= -\frac{1}{C_2 \cdot R_1} & a_{22} &= -\frac{1}{C_2 \cdot R_3} \end{aligned} \quad (4.92)$$

(4.92)' den düğüm eşitliğini yazarsak:

$$C_1 \cdot \frac{dx_1}{dt} = \frac{x_1}{R_1} + \frac{x_2}{R_2} + \frac{x_2}{R_3} \quad C_2 \cdot \frac{dx_2}{dt} = -\frac{x_1}{R_1} - \frac{x_2}{R_3} \quad (4.93)$$

(4.93) eşitliğindeki düğüm denklemindeki devre 19. seçimdeki devre ile aynıdır.

#### 4.4.8 32.Seçim

28. seçimdeki matrisin  $-1$  ile çarpılmasından:

$$\begin{aligned} a_{11} &= \frac{1}{C_1 \cdot R_1} & a_{12} &= -\frac{1}{C_1} \cdot \left( \frac{1}{R_2} + \frac{1}{R_3} \right) \\ a_{21} &= \frac{1}{C_2 \cdot R_1} & a_{22} &= -\frac{1}{C_2 \cdot R_3} \end{aligned} \quad (4.94)$$

(4.94)' den düğüm eşitliğini yazarsak:

$$C_1 \cdot \frac{dx_1}{dt} = \frac{x_1}{R_1} - \frac{x_2}{R_2} - \frac{x_2}{R_3} \quad C_2 \cdot \frac{dx_2}{dt} = \frac{x_1}{R_1} - \frac{x_2}{R_3} \quad (4.95)$$

(4.95) eşitliğindeki düğüm denklemindeki devre 20. seçimdeki devre ile aynıdır.

### 4.5 Karakteristik Denklemin 5. Durumu

Karakteristik denklemin 5. durumu  $R_1$  ortak çarpan parantezinde olacak şekilde  $C_1$  ve  $C_2$  kapasitörlerinin farkının  $R_1$  ile çarpılması ile seçilmiştir.

$$s^2 + \frac{1}{R_1} \cdot \left( \frac{1}{C_2} - \frac{1}{C_1} \right) \cdot s + \frac{1}{C_1 \cdot C_2 \cdot R_1 \cdot R_2} = 0 \quad (5.96)$$

Bu karakteristik denkleme ait osilasyon koşulu  $b$ , ve osilasyon frekansı  $\omega_0$  kolaylıkla yazabiliriz. Osilasyon koşulu:

$$C_1 = C_2 \quad (4.97)$$

Osilasyon frekansı:

$$f_0 = 1/2\pi \cdot \sqrt{C_1 \cdot C_2 \cdot R_1 \cdot R_2} \quad (4.98)$$

(5.96) denklemindeki  $a_{ij}$ ,  $i=1,2$ ,  $j=1,2$  parametrelerinin mümkün olabilecek seçimleri aşağıda incelenmiştir.

#### 4.5.1 33.Seçim

Aşağıdaki seçimi kolayca yapabiliriz:

$$\begin{aligned} a_{11} &= \frac{1}{C_1 \cdot R_1} & a_{12} &= -\frac{1}{C_1 \cdot R_1} \\ a_{21} &= \frac{1}{C_2} \cdot \left( \frac{1}{R_1} + \frac{1}{R_2} \right) & a_{22} &= -\frac{1}{C_2 \cdot R_1} \end{aligned} \quad (4.99)$$

(4.99)' dan düğüm eşitliğini yazarsak:

$$C_1 \cdot \frac{dx_1}{dt} = \frac{x_1 - x_2}{R_1} \quad C_2 \cdot \frac{dx_2}{dt} = \frac{x_1 - x_2}{R_1} + \frac{x_1}{R_2} \quad (4.100)$$

(4.100) eşitliğindeki düğüm denkleminde,  $C_1 \cdot \frac{dx_1}{dt} = \frac{x_1 - x_2}{R_1}$  ifadesini  $R_1 = R_3$

seçecek şekilde  $C_1 \cdot \frac{dx_1}{dt} = \frac{x_1}{R_1} - \frac{x_2}{R_3}$  biçiminde yazabiliriz. Ancak bu şekilde CDBA'lı fiziksel devre 24. seçimdeki devre ile aynıdır.

Buradaki 33. seçim, 24. seçim ile aynı özelliklerini göstermektedir. Benzer şekilde 34. seçim ve 40. seçim ile arasındaki seçimler karakteristik denklemin 4. durumundaki seçimler ile aynı özelliklerini sahiptir.

#### 4.6 Karakteristik Denklemin 6. Durumu

Karakteristik denklemin 6. durumu aşağıda iki tipi verilmiştir.

$$s^2 + \left( \frac{1}{R_4 \cdot C_1} - \frac{1}{R_3 \cdot C_1} - \frac{1}{R_2 \cdot C_2} \right) \cdot s + \frac{1}{C_1 \cdot C_2 \cdot R_2 \cdot R_3} = 0 \quad (5.101)$$

$$s^2 + \left( \frac{1}{R_4 \cdot C_1} - \frac{1}{R_3 \cdot C_1} - \frac{1}{R_2 \cdot C_2} \right) \cdot s + \frac{1}{C_1 \cdot C_2 \cdot R_2 \cdot R_4} = 0 \quad (5.102)$$

Bu karakteristik denkleme ait osilasyon koşulu  $b$ , ve osilasyon frekansı  $\omega_0$ ’ı kolaylıkla yazabiliriz. Osilasyon koşulu:

$$\frac{1}{C_1} \cdot \left( \frac{1}{R_3} - \frac{1}{R_4} \right) = \frac{1}{C_2 \cdot R_2} \quad (4.103)$$

Osilasyon frekansı:

$$f_0 = 1/2\pi \cdot \sqrt{C_1 \cdot C_2 \cdot R_2 \cdot R_3} \quad (4.104)$$

(5.101) denklemindeki  $a_{ij}$ ,  $i=1,2$ ,  $j=1,2$  parametrelerinin mümkün olabilecek birkaç seçimi aşağıda incelenmiştir. Ancak osilasyon koşulu ve frekans osilasyonu sağlayan parametrelerin birbirleri ile bağımlı olduğu görülmektedir. (4.104) formülünde,  $R_2$  veya  $R_3$  ile frekansı ayarladığımızda osilasyon koşulunun etkilendiğini (4.103)' deki formülde görülmektedir.

##### 4.6.1 41.Seçim

Aşağıdaki seçimi kolayca yapabiliriz:

$$a_{11} = \frac{1}{C_1} \cdot \left( \frac{1}{R_3} - \frac{1}{R_4} \right) \quad a_{12} = \frac{1}{C_1 \cdot R_4}$$

$$a_{21} = -\frac{1}{C_2 \cdot R_2} \quad a_{22} = \frac{1}{C_2 \cdot R_2} \quad (4.105)$$

(4.105)' den düğüm eşitliğini yazarsak:

$$C_1 \cdot \frac{dx_1}{dt} = \frac{x_1}{R_3} - \frac{x_1}{R_4} + \frac{x_2}{R_4} \quad C_2 \cdot \frac{dx_2}{dt} = -\frac{x_1}{R_2} + \frac{x_2}{R_2} \quad (4.106)$$

(4.106) eşitliğinden düğüm denkleminden yola çıkarak elde edilecek CDBA'lı devre ayar işlemeye uygun olmadığından fiziksel devre çizilmemiştir.

#### 4.6.2 42.Seçim

41. seçimdeki  $a_{11}$  ve  $a_{12}$  parametrelerindeki dirençler birbirleri ile değiştirirsek yeni seçimimiz:

$$\begin{aligned} a_{11} &= \frac{1}{C_1} \cdot \left( \frac{1}{R_3} - \frac{1}{R_4} \right) & a_{12} &= \frac{1}{C_1 \cdot R_2} \\ a_{21} &= -\frac{1}{C_2 \cdot R_4} & a_{22} &= \frac{1}{C_2 \cdot R_2} \end{aligned} \quad (4.107)$$

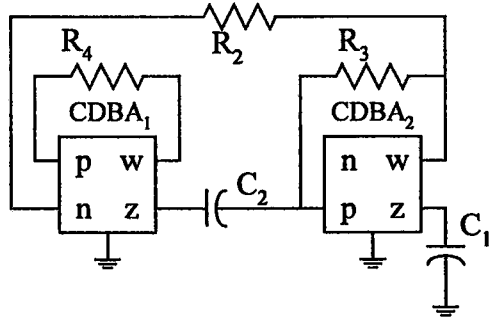
(4.107)' den düğüm eşitliğini yazarsak:

$$C_1 \cdot \frac{dx_1}{dt} = \frac{x_1}{R_3} - \frac{x_1}{R_4} + \frac{x_2}{R_2} \quad C_2 \cdot \frac{dx_2}{dt} = -\frac{x_1}{R_4} + \frac{x_2}{R_4} \quad (4.108)$$

(4.108) denkleminden matrisi elde edersek:

$$[A] = \begin{bmatrix} \frac{1}{C_1} \cdot \left( \frac{1}{R_3} - \frac{1}{R_4} \right) & \frac{1}{R_2 \cdot C_1} \\ -\frac{1}{R_4 \cdot C_2} & \frac{1}{R_2 \cdot C_2} \end{bmatrix} \quad (4.109)$$

(4.108) eşitliğinden düğüm denkleminden yola çıkarak CDBA'lı şekil 4.29' daki fiziksel devreyi elde edebiliriz.



Şekil 4.13 42. seçime ait devre

#### 4.6.3 43.Seçim

41. seçimdeki  $a_{11}$  ve  $a_{12}$  parametrelerinin işaretlerini birbirleri ile değiştirirsek yeni seçimimiz:

$$\begin{aligned} a_{11} &= \frac{1}{C_1} \cdot \left( \frac{1}{R_3} - \frac{1}{R_4} \right) & a_{12} &= -\frac{1}{C_1 \cdot R_4} \\ a_{21} &= \frac{1}{C_2 \cdot R_2} & a_{22} &= \frac{1}{C_2 \cdot R_2} \end{aligned} \quad (4.110)$$

(4.110)' den düğüm eşitliğini yazarsak:

$$C_1 \cdot \frac{dx_1}{dt} = \frac{x_1}{R_3} - \frac{x_1}{R_4} - \frac{x_2}{R_4} \quad C_2 \cdot \frac{dx_2}{dt} = \frac{x_1}{R_2} + \frac{x_2}{R_2} \quad (4.111)$$

(4.111) eşitliğindeki düğüm denkleminden yola çıkarak elde edilecek CDBA' li devre ayar işlemine uygun olmadığından fiziksel devre çizilmemiştir.

#### 4.6.4 44.Seçim

42. seçimdeki  $a_{11}$  ve  $a_{12}$  parametrelerinin işaretlerini birbirleri ile değiştirirsek yeni seçimimiz:

$$\begin{aligned} a_{11} &= \frac{1}{C_1} \cdot \left( \frac{1}{R_3} - \frac{1}{R_4} \right) & a_{12} &= -\frac{1}{C_1 \cdot R_2} \\ a_{21} &= \frac{1}{C_2 \cdot R_4} & a_{22} &= \frac{1}{C_2 \cdot R_2} \end{aligned} \quad (4.112)$$

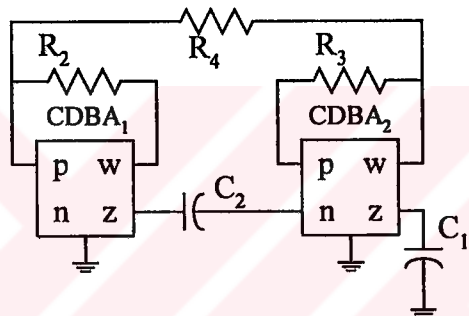
(4.112)' den düğüm eşitliğini yazarsak:

$$C_1 \cdot \frac{dx_1}{dt} = \frac{x_1}{R_3} - \frac{x_1}{R_4} - \frac{x_2}{R_2} \quad C_2 \cdot \frac{dx_2}{dt} = \frac{x_1}{R_4} + \frac{x_2}{R_2} \quad (4.113)$$

(4.112) denkleminden matrisi elde edersek:

$$[A] = \begin{bmatrix} \frac{1}{C_1} \cdot \left( \frac{1}{R_3} - \frac{1}{R_4} \right) & -\frac{1}{R_2 \cdot C_1} \\ \frac{1}{R_4 \cdot C_2} & \frac{1}{R_2 \cdot C_2} \end{bmatrix} \quad (4.114)$$

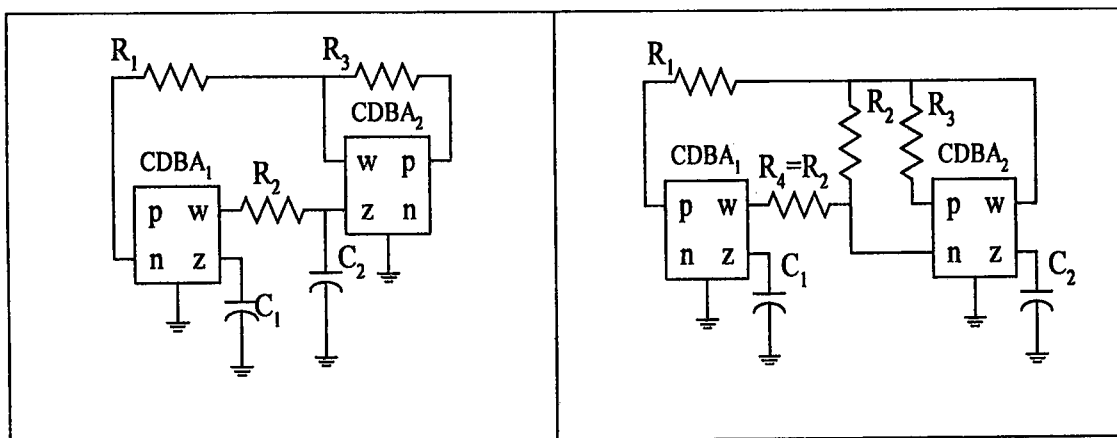
(4.114) eşitliğindeki düğüm denkleminden yola çıkararak CDBA'lı şekil 4.30' deki fiziksel devreyi elde edebiliriz.



Şekil 4.14 44. seçime ait devre

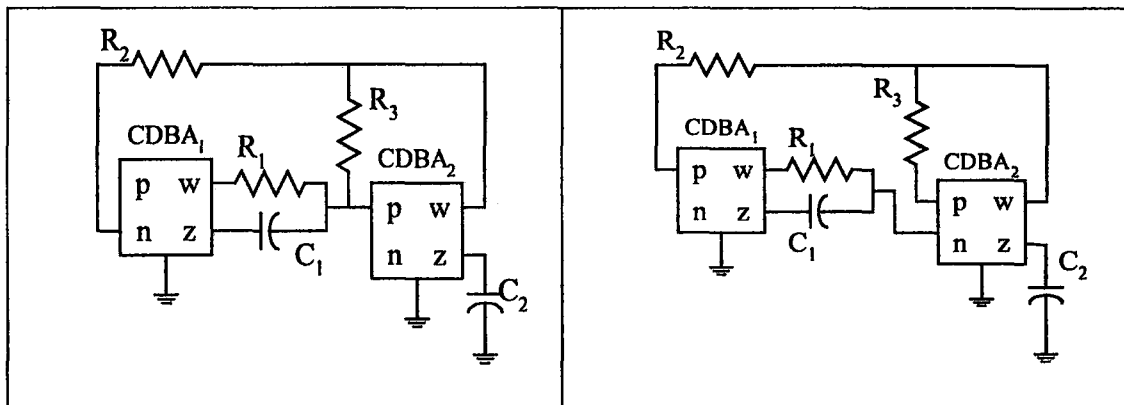
Aşağıda önerilen devrelere ait fiziksel devreler bir tablo halinde verilmiştir.

Tablo 4.2a Karakteristik denklemin 1. durumuna ait tek dirençle kontrol edilen CDBA tabanlı osilatör devreleri



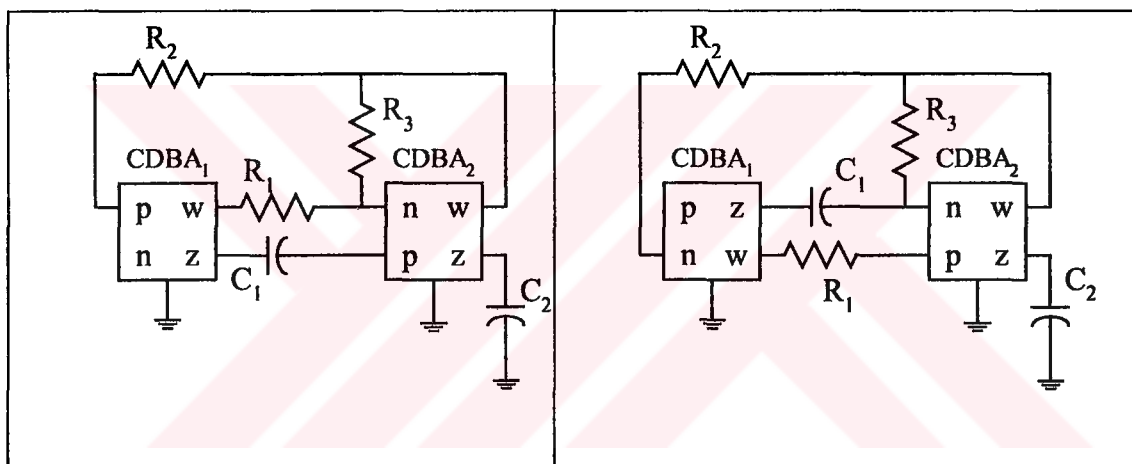
Tablo 4.2b Karakteristik denklem 1. durumuna ait tek dirençle kontrol edilen

CDBA tabanlı osilatör devreleri



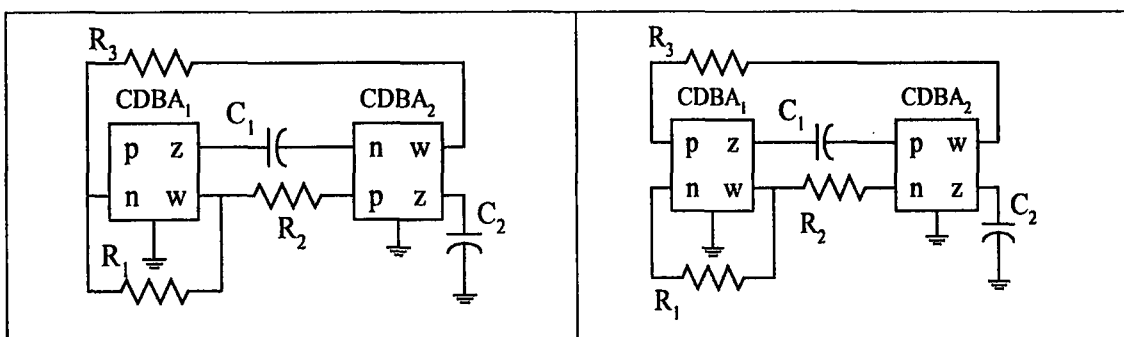
Tablo 4.3 Karakteristik denklem 2. durumuna ait tek dirençle kontrol edilen

CDBA tabanlı osilatör devreleri

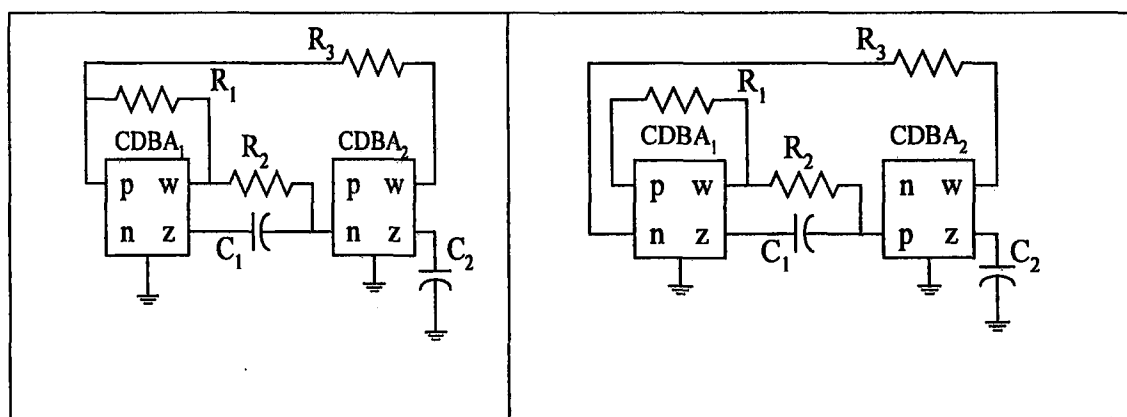


Tablo 4.4 Karakteristik denklem 3. durumuna ait tek dirençle kontrol edilen

CDBA tabanlı osilatör devreleri



Tablo 4.5 Karakteristik denklemi 4. durumuna ait tek dirençle kontrol edilen  
CDBA tabanlı osilatör devreleri



## 5. CDBA ELEMANI İLE GERÇEKLEŞTİRİLEN DEVRELERİN ÖZELLİKLERİ VE PSPICE SIMULASYONU

Eleman sayısı, yukarıdaki devrelerden tablo 4.2a' daki 4 dirençli devre hariç hepsi 3 direnç, 2 kapasite ve 2 CDBA' lıdır.

Elemanların bağlantısı, yukarıdaki devrelerdeki elemanların bir kısmı toprağa, bir kısmı p ve n uçlarına ki, bu uçlardaki gerilimler 0 olarak verilmiştir. Dolayısıyla sözde toprağa bağlıdır. Bir kısmında çıkış gerilimine bağlıdır. Her devrenin sahip olduğu  $C_2$  kapasitesi bütün devrelerde toprağa bağlıdır.  $C_1$  kapasitesi bazlarında p sözde toprağına, bazlarında n sözde toprağına bağlanmıştır. Tablo 4.2a' da toprağa bağlanmıştır. Tablo 4.2a' daki 1. devredeki  $R_2$  direncinin uçlarında iki ayrı gerilim olması hariç, devrelerdeki tüm dirençlerin bir ucunu sözde topraklıdır.

$\omega_0$  ve b bağımsızlığı, tablo 4.2 ve tablo 4.3 deki devreler  $R_2$  direncinin  $R_3$ ' e eşit olması halinde osilasyon koşulunu sağlar. Bu koşul sağlandıktan sonra  $R_1$  direnci ile frekans osilasyonu gerçekleşir. Frekans osilasyonu  $R_1$  direnci ile değişmesi, osilasyon koşuluna etki etmemektedir. Dolayısıyla frekans bağımsızlığı gerçekleşir.

Tablo 4.4 ve 4.5 deki devreler,  $C_1=C_2$  ve  $R_1=R_3$  olması halinde osilasyon koşulunu sağlar. Bu şartlar altında  $R_2$  direnci ile bağımsız frekans osilasyonu gerçekleşir.

İdealsizliğin kompanzasyonu, devrenin ideal olmayan durumundaki davranışını bulmak için CDBA' nın karakteristik denklemini yeniden yazarsak:

$$\begin{bmatrix} i_z \\ v_w \\ v_p \\ v_n \end{bmatrix} = \begin{bmatrix} 0 & 0 & \alpha_p & -\alpha_n \\ \beta & 0 & 0 & 0 \\ 0 & 0 & 0 & 0 \\ 0 & 0 & 0 & 0 \end{bmatrix} \cdot \begin{bmatrix} v_z \\ i_w \\ i_p \\ i_n \end{bmatrix} \quad (5.115)$$

p ve n terminallerinden z terminaline akım kazançları sırasıyla  $\alpha_p=1-\varepsilon_p$ ,  $\alpha_n=1-\varepsilon_n$ , w terminalinin gerilim kazancı  $\beta=1-\varepsilon_v$  ' dir.  $\varepsilon_p$ ,  $\varepsilon_n$ ,  $\varepsilon_v$  1' den çok küçüktür.  $|\varepsilon_p| << 1$ ,  $|\varepsilon_n| << 1$ ,  $|\varepsilon_v| << 1$ .

$\varepsilon_p$ ,  $\varepsilon_n$ ,  $\varepsilon_v$  çok küçük büyüklükler olduğundan, osilasyon frekansına etkileri ihmal edilebilir. Ayrıca bu etkiler, frekansın tek dirençle kontrol edilebilir özelliğinden dolayı frekansa etkisi yok edilebilir. Sonuç olarak osilasyon koşulu ve frekans osilasyon özelliklerini devam ettirmektedir.

1. karakteristik denklemdeki 1. seçimde CDBA elemanın idealsizlik hali gözönüne alınarak devreni osilasyon şartını, frekans osilasyonunu ve karakteristik denkleme etkisini bulabiliyoruz. Aşağıda bu açıklamalarla ilgili ayrıntılı bilgi verilmiştir. Diğer karakteristik denklemlerdeki seçimlerde benzer şekilde uygulanabilir.

$r_{z1}$ ,  $r_{z2}$ ,  $\alpha_{p1}$ ,  $\alpha_{n1}$  ve  $\beta$  1. CDBA elemanına,  $r_{z1}$ ,  $r_{z2}$ ,  $\alpha_{p2}$ ,  $\alpha_{n2}$  ve  $\beta$  2. CDBA elemanına ait parametreler olmak üzere osilasyon koşulu b:

$$\frac{1}{R_2} = \frac{\alpha_{p2} \cdot \beta_2}{R_3} \quad (5.116)$$

frekans osilasyonu:

$$\omega_0^2 = \frac{\alpha_{n1} \cdot \beta_1 \cdot \beta_2}{R_1 \cdot R_2 \cdot C_1 \cdot C_2} \quad (5.117)$$

karakteristik denklem:

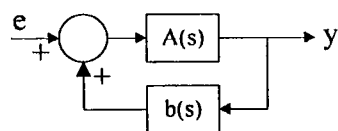
$$s^2 + \left( \frac{1}{C_2 \cdot r_{z2}} + \frac{1}{C_2 \cdot R_2} - \frac{\alpha_{p2} \cdot \beta_2}{C_2 \cdot R_3} - \frac{1}{C_1 \cdot r_{z1}} \right) \cdot s + \frac{1}{C_1 \cdot C_2 \cdot R_1 \cdot R_2} \cdot \left( \frac{R_1 \cdot R_2}{r_{z1} \cdot r_{z2}} + \frac{R_1}{r_{z1}} - \frac{\alpha_{p2} \cdot \beta_2 \cdot R_1 \cdot R_2}{r_{z1} \cdot R_3} + \alpha_{n1} \cdot \beta_2 \cdot \beta_1 \right) = 0 \quad (5.117)$$

$R_1 \cdot R_2 \ll r_{z1}, r_{z2}$ ,  $R_1 \ll r_{z1}$ ,  $R_1 \cdot R_2 / R_3 \ll r_{z1}$  olarak seçilirse 1. karakteristik denklem elde edilir.  $R_2 = R_3$ ,  $C_1 = C_2$  seçildiği ve  $r_{z1} = r_{z2}$  olduğundan, 1. karakteristik denklem elde edilir.

$\omega_0$ 'ın kararlılığı, A, B, C, D devreleri 1. karakteristik denklemden çıkmaktadır. 1. karakteristik denklemi yazarsak:

$$s^2 + \frac{1}{C_2} \cdot \left( \frac{1}{R_2} - \frac{1}{R_3} \right) \cdot s + \frac{1}{C_1 \cdot C_2 \cdot R_1 \cdot R_2} = 0 \quad (5.118)$$

Geribeslemeli bir blok diyagramı çizersek:



Şekil 5.1 Geribesleme blok diyagramı

Bu diyagramda transfer fonksiyonu  $T(s)$ 'i yazarsak:

$$T(s) = \frac{A(s)}{1 - \beta(s) \cdot A(s)} \quad (5.119)$$

Berkhausen osilasyon kriterine göre devrenin osilasyon yapabilmesi için  $1 - \beta \cdot A = 0$  olması gereklidir. Bu ifadede karakteristik denkleme eşittir. Birim geri besleme devresi için  $T(s)$ :

$$T(s) = \frac{A(s)}{1 - A(s)} \quad (5.120)$$

Karakteristik denklemi  $s^2 + (b - d) \cdot s + c = 0$  biçiminde yazarsak ve  $\frac{A(s)}{1 - A(s)}$ ,ının paydasına eşitleyecek biçimde A(s) fonksiyonunu yazarsak:

$$A(s) = \frac{ds}{s^2 + bs + c} \quad (5.121)$$

$A(s)$ ' nin  $\varphi(\omega)$ ' sini bulup, daha sonra  $\omega$ ' ya göre türevinde,  $\omega$  yerine  $\omega_0$  koyup,  $\omega_0$  ile çarpımını yazarsak, frekans kararlılığını buluruz:

$$S^F = \omega_0 \cdot \frac{\partial \varphi(\omega)}{\partial \omega} \Big|_{\omega=\omega_0} = -\frac{2 \cdot Q}{\omega_0} = -2 \cdot Q \quad (5.122)$$

Burada  $\varphi(\omega)$  faz fonksiyonu,  $A(s)$  ileri yol kazancı,  $\beta(s)$  besleme kazancı  $A(s) \cdot \beta(s)$  çevrim kazancını verir.  $\varphi(\omega)$ ,  $A(j\omega) \cdot \beta(j\omega)$  fonksiyonundan elde edilen faz fonksiyonudur.

$\frac{\partial \varphi(\omega)}{\partial \omega}$  değeri ne kadar büyükse frekans kararlılığı o kadar iyidir. Çünkü  $\omega$  nin değişimi ne kadar küçükse fazdaki değişimler frekansı o kadar az etkiler. Yani  $S^F$  değerinin büyük olması frekansın kararlı olması anlamına gelmektedir [8]. (5.122)'de kararlılığın  $-2Q$ 'ya bağlı olduğunu görüyoruz. Eğer  $Q$  değerini büyük seçersek o kadar kararlı devre elde ederiz.

### 5.1 1. Karakteristik denklem için frekans kararlılığı

1. karakteristik denklem için  $A$  fonksiyonunu yazarsak:

$$A = \frac{\frac{1}{R_3 \cdot C_2} s}{s^2 + \frac{1}{R_2 \cdot C_2} s + \frac{1}{R_1 \cdot R_2 \cdot C_1 \cdot C_2}} \quad (5.123)$$

(5.201) denkleminde  $\omega_0^2 = \frac{1}{R_1 \cdot R_2 \cdot C_1 \cdot C_2}$  ve  $\frac{\omega_0}{Q} = \frac{1}{R_2 \cdot C_2}$  olarak bulunur. Buradan

$Q = \sqrt{\frac{R_2 \cdot C_2}{R_1 \cdot C_1}}$  olarak bulunur.  $R_2$  ve  $C_2$  çarpımının büyük olması devreyi kararlı kılar.  $R_2 R_3$ ' ü etkiler. Çünkü osilasyon koşulu için  $R_2$  ile  $R_3$  eşit olmalıdır. Bu  $R_2$  direnci ile frekansa olan etkisi  $R_1$  direnci kaldırılabilir. Yani frekans bağımsızlığı yine sağlanmaktadır.

## 5.2 2. Karakteristik denklem için frekans kararlılığı

E ve F devreleri için 2. Karakteristik denklemi yazabiliriz:

$$s^2 + \frac{1}{C_2} \cdot \left( \frac{1}{R_3} - \frac{1}{R_2} \right) \cdot s + \frac{1}{C_1 \cdot C_2 \cdot R_1 \cdot R_2} = 0 \quad (5.124)$$

A fonksiyonu yazarsak:

$$A = \frac{\frac{1}{R_3 \cdot C_2} s}{s^2 + \frac{1}{R_1 \cdot C_1} s + \frac{1}{R_1 \cdot R_2 \cdot C_1 \cdot C_2}} \quad (5.125)$$

(5.203) denkleminde  $\omega_0^2 = \frac{1}{R_1 \cdot R_2 \cdot C_1 \cdot C_2}$  ve  $\frac{\omega_0}{Q} = \frac{1}{R_1 \cdot C_1}$  olarak bulunur. Buradan

$Q = R_3 \cdot \sqrt{\frac{C_2}{R_1 \cdot R_2 \cdot C_1}}$  olarak bulunur. Osilasyon koşulu için  $R_2$  ve  $R_3$  eşit

olacağından  $Q$ 'yu tekrar yazarsak,  $Q = \sqrt{\frac{R_3 \cdot C_2}{R_1 \cdot C_1}}$  elde edilir.  $R_3 \cdot C_2$  çarpımının

büyük olması devreyi kararlı kılar. Osilasyon koşulu için  $R_2$  ile  $R_3$  eşit olmalıdır. Bu  $R_2$  direnci ile frekansa olan etkisi  $R_1$  direnci kaldırılabilir. Yani frekans bağımsızlığı yine sağlanmaktadır.

## 5.3 3. Karakteristik denklem için frekans kararlılığı

G ve H devreleri için 3. Karakteristik denklemi yazabiliriz:

$$s^2 + \left( \frac{1}{R_1 \cdot C_1} - \frac{1}{R_3 \cdot C_2} \right) \cdot s + \frac{1}{C_1 \cdot C_2 \cdot R_2 \cdot R_3} = 0 \quad (5.126)$$

A fonksiyonunu yazarsak:

$$A = \frac{\frac{1}{R_3 \cdot C_2} s}{s^2 + \frac{1}{R_1 \cdot C_1} s + \frac{1}{R_2 \cdot R_3 \cdot C_1 \cdot C_2}} \quad (5.127)$$

(5.205) denkleminde  $\omega_0^2 = \frac{1}{R_2 \cdot R_3 \cdot C_1 \cdot C_2}$  ve  $\frac{\omega_0}{Q} = \frac{1}{R_1 \cdot C_1}$  olarak bulunur. Buradan

$Q = R_1 \cdot \sqrt{\frac{C_1}{R_2 \cdot R_3 \cdot C_2}}$  olarak bulunur. Osilasyon koşulu için  $R_1, C_1$  ve  $R_3, C_2$ ‘ye eşit

olacağından  $Q$ ’yu tekrar yazarsak,  $Q = \sqrt{\frac{R_1}{R_2}}$  elde edilir.  $R_1$ ’in büyük olması devreyi kararlı kılar.  $R_3$  direncinin frekansa olan etkisi  $R_2$  direnci kaldırılabilir. Frekans bağımsızlığı yine sağlanmaktadır.

#### 5.4 4. Karakteristik denklem için frekans kararlılığı

I ve J devreleri için 4. Karakteristik denklemi yazabiliyoruz:

$$s^2 + \left( \frac{1}{R_3 \cdot C_2} - \frac{1}{R_1 \cdot C_1} \right) \cdot s + \frac{1}{C_1 \cdot C_2 \cdot R_2 \cdot R_3} = 0 \quad (5.128)$$

A fonksiyonu yazarsak:

$$A = \frac{\frac{1}{R_1 \cdot C_1} s}{s^2 + \frac{1}{R_3 \cdot C_2} s + \frac{1}{R_2 \cdot R_3 \cdot C_1 \cdot C_2}} \quad (5.129)$$

(5.201) denkleminde  $\omega_0^2 = \frac{1}{R_2 \cdot R_3 \cdot C_1 \cdot C_2}$  ve  $\frac{\omega_0}{Q} = \frac{1}{R_3 \cdot C_2}$  olarak bulunur. Buradan

$Q = \sqrt{\frac{R_3 \cdot C_2}{R_2 \cdot C_1}}$  olarak bulunur.  $R_3$  ‘ün büyük olması devreyi kararlı kılar.  $R_3$

direncinin frekansa olan etkisi  $R_2$  direnci kaldırılabilir. Frekans bağımsızlığı yine sağlanmaktadır.

Aşağıda devrelerin ideal ve ideal olmayan durumlarının osilasyon koşulları ve frekans koşulları, fiziksel devreleri ile ilgili tablolar verilmiştir.

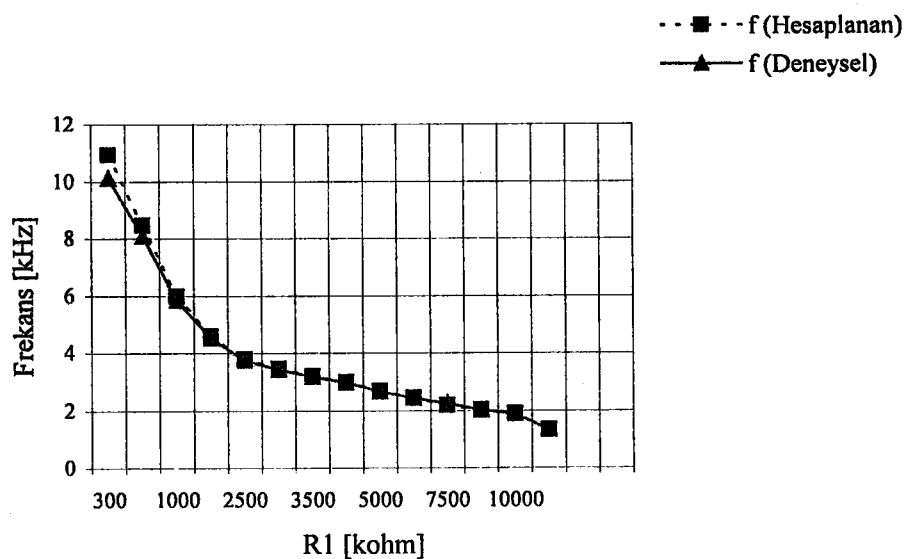
Tablo 5.1 Yukarıda verilen devrelerin ideal ve ideal olmayan şartlardaki osilasyon koşulları ve frekans osilasyonları:

İDEAL		İDEAL OLMAYAN		
NO	Osilasyon koşulu (b)	Frekans osilasyon ( $\omega_0^2$ )	Osilasyon koşulu (b)	Frekans osilasyon ( $\omega_0^2$ )
A	$R_2 = R_3$	$\frac{1}{C_1 \cdot C_2 \cdot R_1 \cdot R_2}$	$\alpha_{p_2} \cdot \beta_2 \cdot R_2 = R_3$	$\frac{\alpha_{n_1} \cdot \beta_1 \cdot \beta_2}{C_1 \cdot C_2 \cdot R_1 \cdot R_2}$
B	$R_2 = R_3$	$\frac{1}{C_1 \cdot C_2 \cdot R_1 \cdot R_2}$	$\alpha_{p_2} \cdot R_2 = \alpha_{n_2} \cdot R_3$	$\frac{\alpha_{n_2} \cdot \alpha_{p_1} \cdot \beta_1 \cdot \beta_2}{C_1 \cdot C_2 \cdot R_1 \cdot R_2}$
C	$R_2 = R_3$	$\frac{1}{C_1 \cdot C_2 \cdot R_1 \cdot R_2}$	$\alpha_{p_2} \cdot R_2 = \alpha_{n_1} \cdot R_3$	$\frac{\alpha_{n_1} \cdot \beta_1 \cdot \beta_2}{C_1 \cdot C_2 \cdot R_1 \cdot R_2}$
D	$R_2 = R_3$	$\frac{1}{C_1 \cdot C_2 \cdot R_1 \cdot R_2}$	$\alpha_{p_2} \cdot R_2 = \alpha_{p_2} \cdot R_3$	$\frac{\alpha_{n_2} \cdot \alpha_{p_1} \cdot \beta_1 \cdot \beta_2}{C_1 \cdot C_2 \cdot R_1 \cdot R_2}$
E	$R_2 = R_3$	$\frac{1}{C_1 \cdot C_2 \cdot R_1 \cdot R_2}$	$\alpha_{n_2} \cdot R_2 = \alpha_{p_1} \cdot \alpha_{p_2} \cdot R_3$	$\frac{\alpha_{n_1} \cdot \beta_1 \cdot \beta_2}{C_1 \cdot C_2 \cdot R_1 \cdot R_2}$
F	$R_2 = R_3$	$\frac{1}{C_1 \cdot C_2 \cdot R_1 \cdot R_2}$	$R_2 = \alpha_{n_1} \cdot R_3$	$\frac{\alpha_{n_1} \cdot \alpha_{p_2} \cdot \beta_1 \cdot \beta_2}{C_1 \cdot C_2 \cdot R_1 \cdot R_2}$
G	$C_1 \cdot R_1 = C_2 \cdot R_3$	$\frac{1}{C_1 \cdot C_2 \cdot R_2 \cdot R_3}$	$C_1 \cdot R_1 \cdot \alpha_{n_1} \cdot \beta_2 = C_2 \cdot R_3 \cdot \beta_1$	$\frac{\alpha_{n_1} \cdot \alpha_{p_2} \cdot \beta_1 \cdot \beta_2}{C_1 \cdot C_2 \cdot R_1 \cdot R_2}$
H	$C_1 \cdot R_1 = C_2 \cdot R_3$	$\frac{1}{C_1 \cdot C_2 \cdot R_2 \cdot R_3}$	$C_1 \cdot R_1 \cdot \alpha_{n_1} \cdot \beta_2 = C_2 \cdot R_3 \cdot \alpha_{n_1}$	$\frac{\alpha_{n_2} \cdot \alpha_{p_1} \cdot \beta_1 \cdot \beta_2}{C_1 \cdot C_2 \cdot R_1 \cdot R_2}$
I	$C_1 \cdot R_1 = C_2 \cdot R_3$	$\frac{1}{C_1 \cdot C_2 \cdot R_2 \cdot R_3}$	$C_1 \cdot R_1 \cdot \alpha_{n_1} \cdot \beta_2 = C_2 \cdot R_3 \cdot \beta_1$	$\frac{\alpha_{n_2} \cdot \alpha_{p_1} \cdot \beta_1 \cdot \beta_2}{C_1 \cdot C_2 \cdot R_1 \cdot R_2}$
J	$C_1 \cdot R_1 = C_2 \cdot R_3$	$\frac{1}{C_1 \cdot C_2 \cdot R_2 \cdot R_3}$	$C_1 \cdot R_1 \cdot \alpha_{n_1} \cdot \beta_2 = C_2 \cdot R_3 \cdot \beta \cdot \alpha_{n_1}$	$\frac{\alpha_{n_1} \cdot \alpha_{p_2} \cdot \beta_1 \cdot \beta_2}{C_1 \cdot C_2 \cdot R_1 \cdot R_2}$

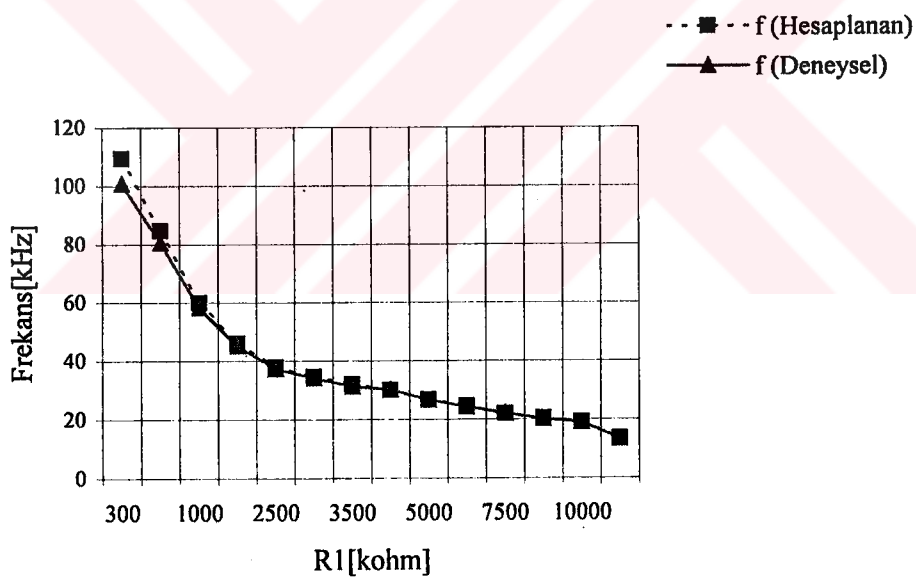
## 5.5 PSPICE Simulasyonu

PSPICE simulasyonu, önerilen devrelerin teorik analizini doğrulamak için yapılmıştır. PSPICE ile simulasyonda AD844 ile kullanılan CDBA modeli kullanılmıştır. Aşağıda şekil 4.1 devresi için simulasyonun neticeleri verilmiştir.

Osilasyon şartı için  $R_2=7.05K$ ,  $R_3=7K$ ,  $C_1=C_2=10nF$ ,  $R_1=5K$  değerleri şekil 4.1' deki osilatör devresi için uygulandığında  $f_0=2690,21$  Hz olarak hesaplanırken simulasyonda 2669 Hz elde edilmiştir.



Şekil 5.2  $C_1=C_2=10\text{nF}$ ,  $R_2=7.05\text{K}$ ,  $R_3=7\text{K}$  değerleri için frekans değerleri



Şekil 5.3  $C_1=C_2=1\text{nF}$ ,  $R_2=7.05\text{K}$ ,  $R_3=7\text{K}$  değerleri için frekans değerleri

## **6. SONUÇ**

Bu çalışmada CDBA aktif elemanı kullanılarak oluşturulan 10 osilatör devresi önerilmiştir. Osilasyon frekansı osilasyon şartından bağımsız ve en az sayıda elemanla içeren osilatör devrelerinin tasarım detayları verilmiştir. CDBA elemanın idealsizlik hali incelenmiş, osilatörün idealsizlikten etkilenmemesi için gerekli şartlar belirtilmiştir. CDBA elemanın en büyük avantajı  $w$ - ucunun düşük değerli empedansa sahip olmasıdır. Önerilen devrelerde, üç direnç, iki kapasitör ve 2 CDBA elemanına sahip ve osilasyon frekansı  $R$  direnci ile ayarlanabilmektedir. Gerilim kontrollü osilatör (VCO) gerçekleştirmede uygundur. Dolayısıyla yeni imkanlar sağlamaktadır.

Ayrıca [1]' de belirtilen metodun aksine bu çalışmada gerçek bir sentez metodu ile basit bir yaklaşım sunulmuştur. Bu yaklaşım bize devre tasarımında bir topolojiye bağlı kalma zorunluluğunu ortadan kaldırarak ve sistematik bir şekilde devreyi elde etmemizi sağlamaktadır.

CDBA elemanını kullanarak sistematik bir şekilde SRCO'ları elde etmek, durum değişkenleri sentezi metodu yaklaşımı ile elde etmek oldukça kolaydır.

Osilasyon koşulunu ve frekans koşulunu oluşturan dirençleri  $R'$  ye, kapasiteleri  $C'$  ye eşitlersek, ve frekans osilasyonunu ayarlayan direnc  $R_0=R/n$  olarak seçilirse, frekans kararlılık faktörünü  $2.n^{1/2}$  olarak bulunur.  $n$  değeri oldukça büyük seçilerek kararlı bir osilatör elde edilebilir.

## KAYNAKLAR

- [1] Özcan, S., Toker, A. , Acar, C., Kuntman, H., Çiçekoğlu, O., 1999, Single resistance-controlled sinusoidal oscillators employing current differencing buffered amplifier, *Microelectronics Journal.*, 31, 169-174.
- [2] Tao, Y.Fidler, J. K., 2000. Electronically tunable dual-ota second order sinusiodal / filter with non-interacting control: sistematic sensitive approach, *IEEE transaction on circuit and systems- Part1: Fundemantal theory and application*, Vol.47 No.2, 117-129
- [3] Abuelma' atti, M. T., Al zahir, H., 2000. Grounded capacitor current mode sinusoidal oscillator with single element controlled amplitude and phase using two FDFN, *Frequenz*, Vol.54, ,87-89
- [4] Acar, C. and Özoguz, S., 1998, A new versatile building block: current differencing buffered amplifier suitable for analog signal-processing filters, *Microelectronics Journal.*, 30, 157-160.
- [5] Dong-Shiu, W., Ho-Tsan, L., Yuh-Shyan, H. and Yan-Pei, W., 1994. CFA-based universal filter deduced from a Mason graph, *Int. J. Electronics*, 77, 1059-1065.
- [6] Yüksel, E., 1999. Genelleştirilmiş durum denklemleriyle CFOA temelli osilatör sentezi, *Yüksek Lisans Tezi*, İ.T.Ü. Fen Bilimleri Enstitüsü, İstanbul.
- [7] Gupta, S.S. and Senani, R., 1997. Synthesis of single-resistance-controlled oscillators using CFOAs: simple state-variable approach, *IEE Proc. – Circuit Devices Syst.*, 144, 104-106.
- [8] Bhaskar, D.R. and Senani, R., 1993. New current-conveyor-based single-resistance-controlled / voltage-controlled oscillator employing grounded capacitors, *Electronics Letters.*, Vol.29 No.7, 612-613.
- [9] Özoguz, S., Toker, A. , İbrahim, Muhammed A.. and Acar, C., 'A new versatile building block: current differencing buffered amplifier and its applications', *Proc. Of 1999 European Conference on Curcuit Theory and Design (ECCTD'99)*, Vol. II, pp. 90-93, Stresa, Italy 29 Aug.-2 Sep. 1999.

## **ÖZGEÇMİŞ**

1974 yılında Üsküdar doğdu. İlk, orta ve lise öğrenimini İzmit' te tamamladı. Daha sonra Yıldız Üniversitesi Kocaeli Mühendislik Fakültesi' nin Elektronik ve Haberleşme Mühendisliği Bölümünü 1996 yılında bitirdi. Aynı yıl girdiği İstanbul Teknik Üniversitesi Elektrik Elektronik Fakültesi Elektronik ve Haberleşme Mühendisliği Bölümünde öğrenimi devam etmektedir.

